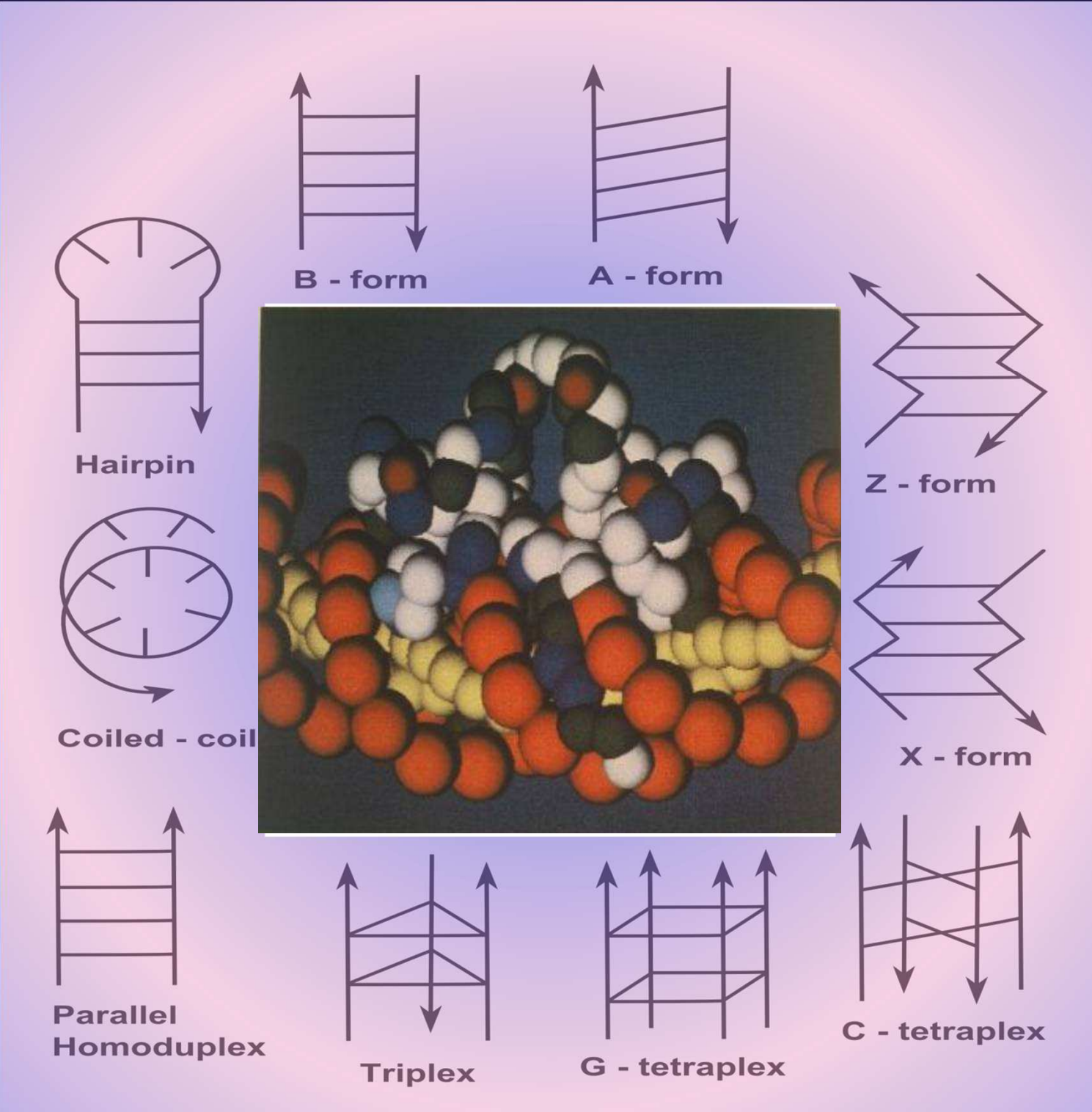


# CD spektroskopie a konformační vlastnosti DNA



Michaela Vorlíčková  
Institute of Biophysics

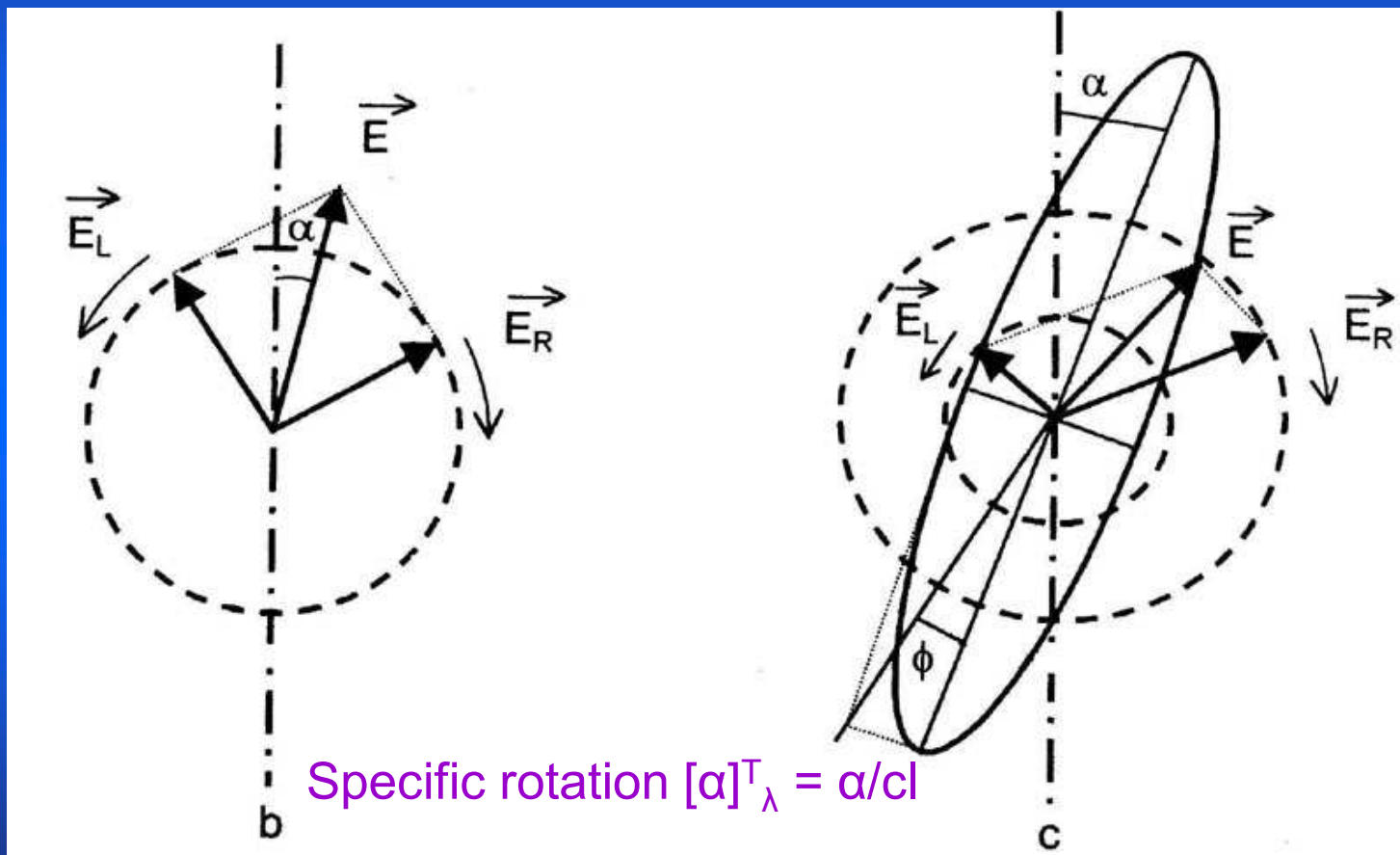
Academy of Sciences of the Czech Republic, v.v.i. Brno  
Laboratory of CD spectroscopy of nucleic acids



- Principles of circular dichroic (CD) spectroscopy
- Advantages and drawbacks of the use of CD spectroscopy to proteins and nucleic acids studies
- Characteristic CD spectra of particular nucleic acids types
- Structural properties of nucleic acids - fresh findings

# Cirkulární dichroismus a optická aktivita biopolymerů

- ) optická aktivita – chirální látky (aminokyseliny, cukry) úhel stočení roviny polarizovaného světla, ORD
- ) CD – princip, veličiny, elipticita,  $\Delta A$ ,  $\Delta \epsilon$ , vztah mezi ORD a CD



Elipticita

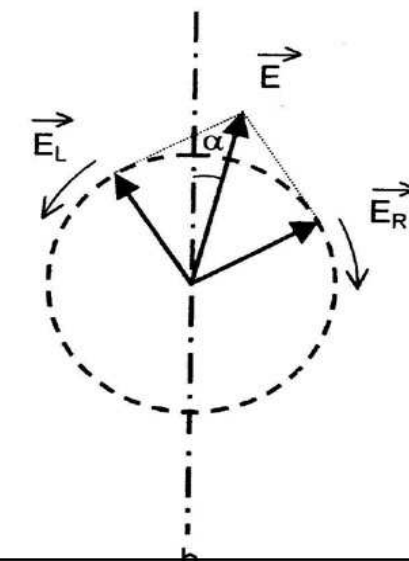
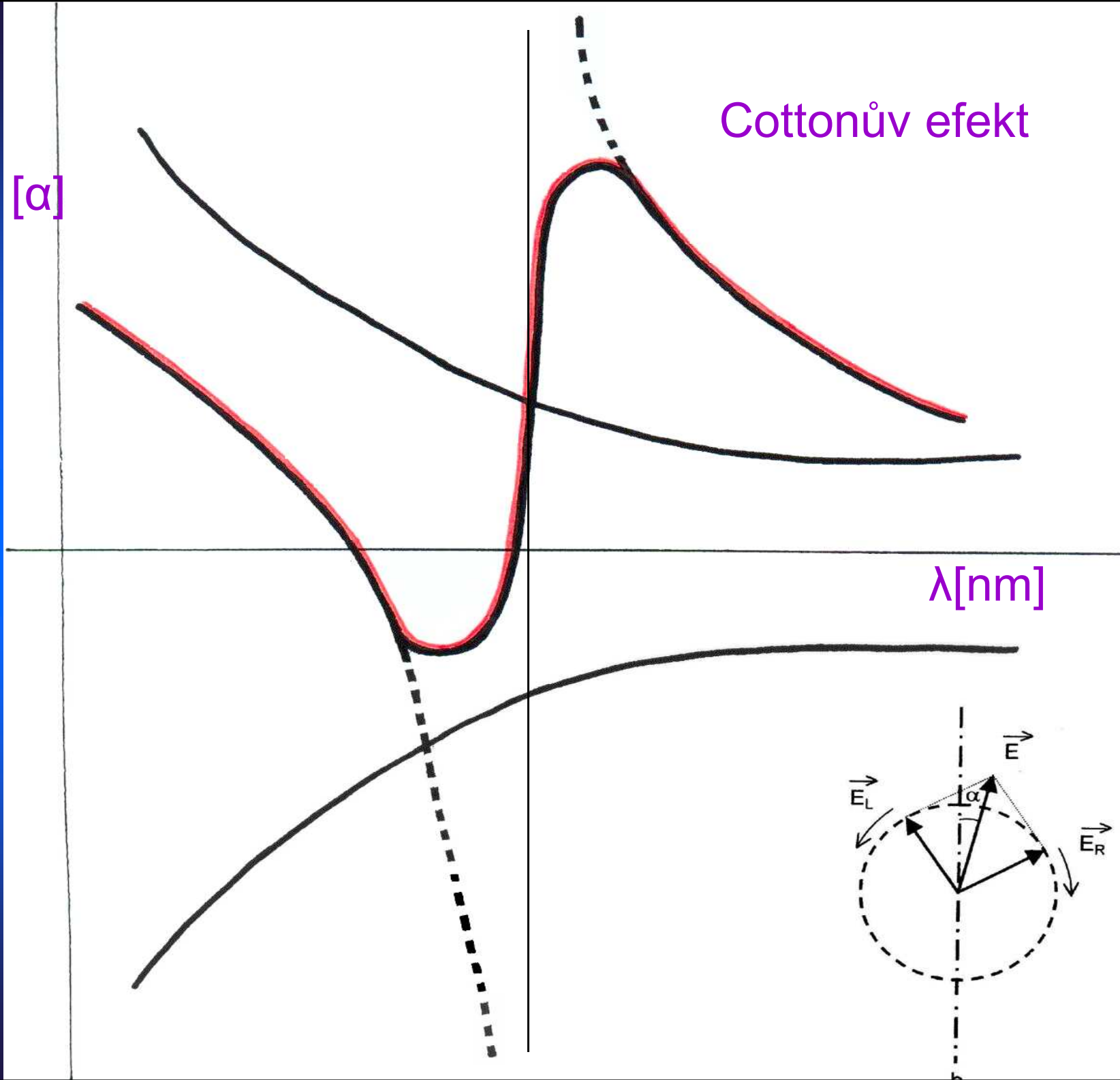
$\Psi$  [ $\psi$ ]

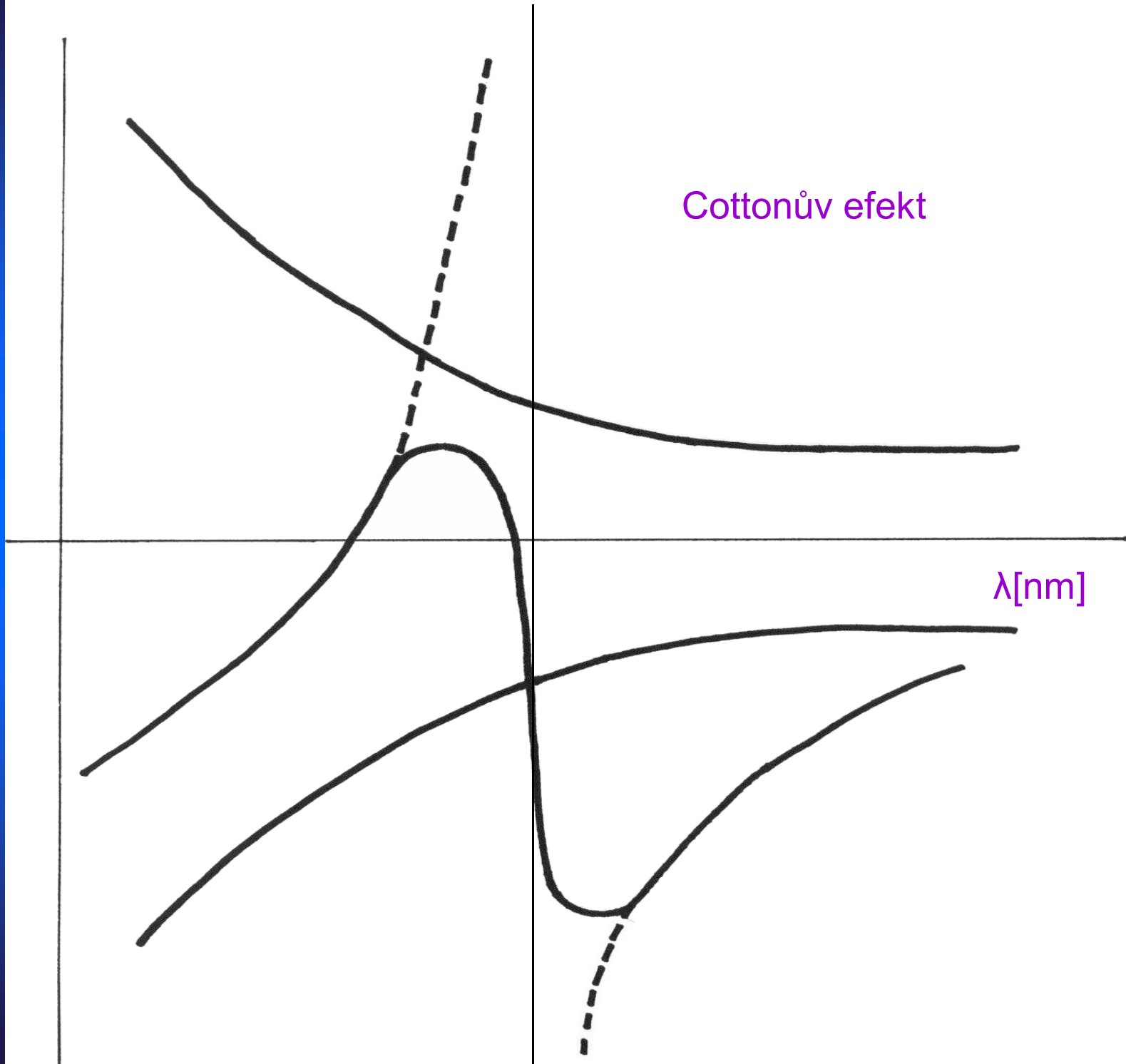
$$\tan \Psi = b/a = \epsilon_L - \epsilon_R / \epsilon_L + \epsilon_R$$

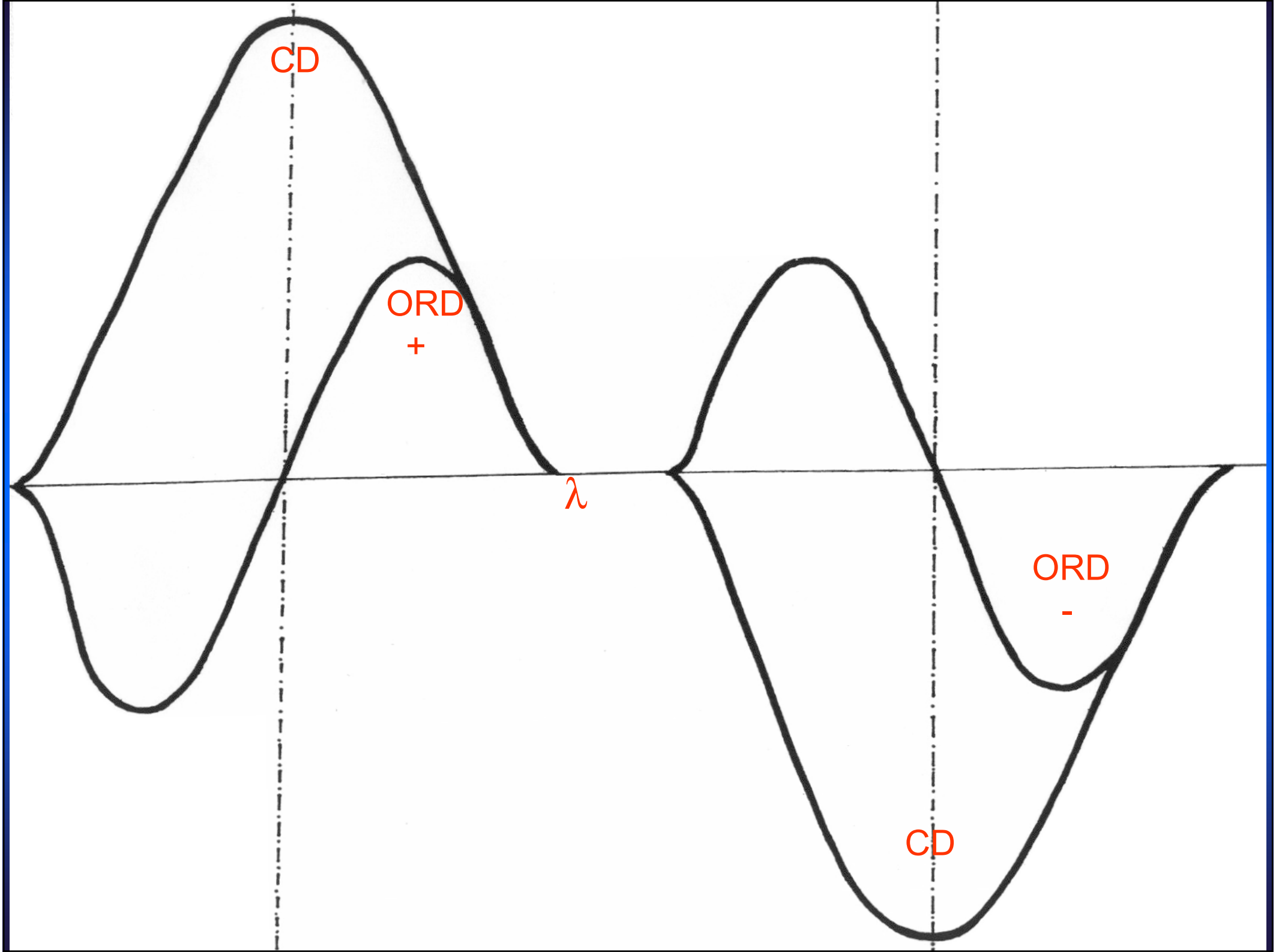
Cirkulární dichroismus

$\Delta \epsilon$

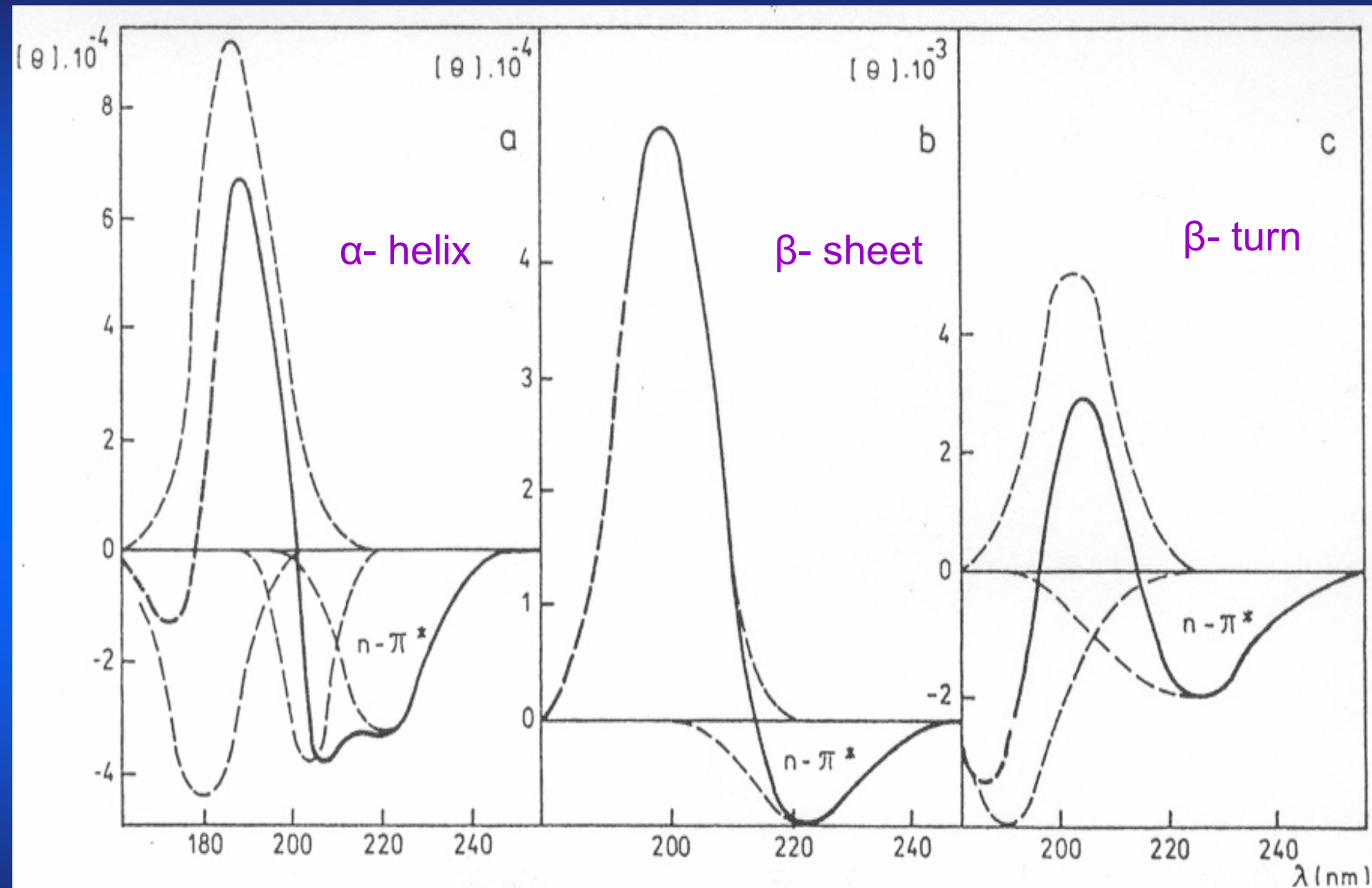
$$\Delta \epsilon = \epsilon_L - \epsilon_R = \Delta A / c, \quad \theta = 3300 \cdot \Delta \epsilon$$



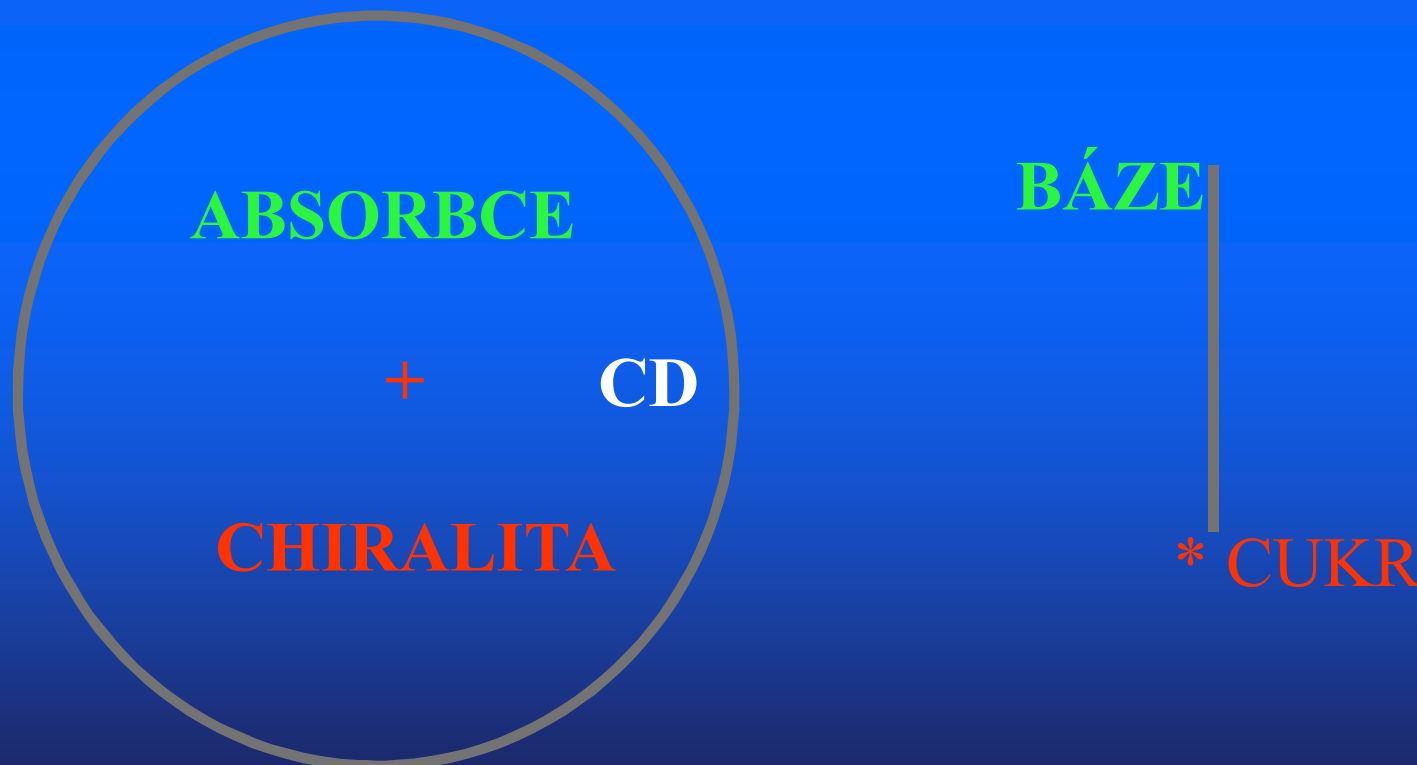


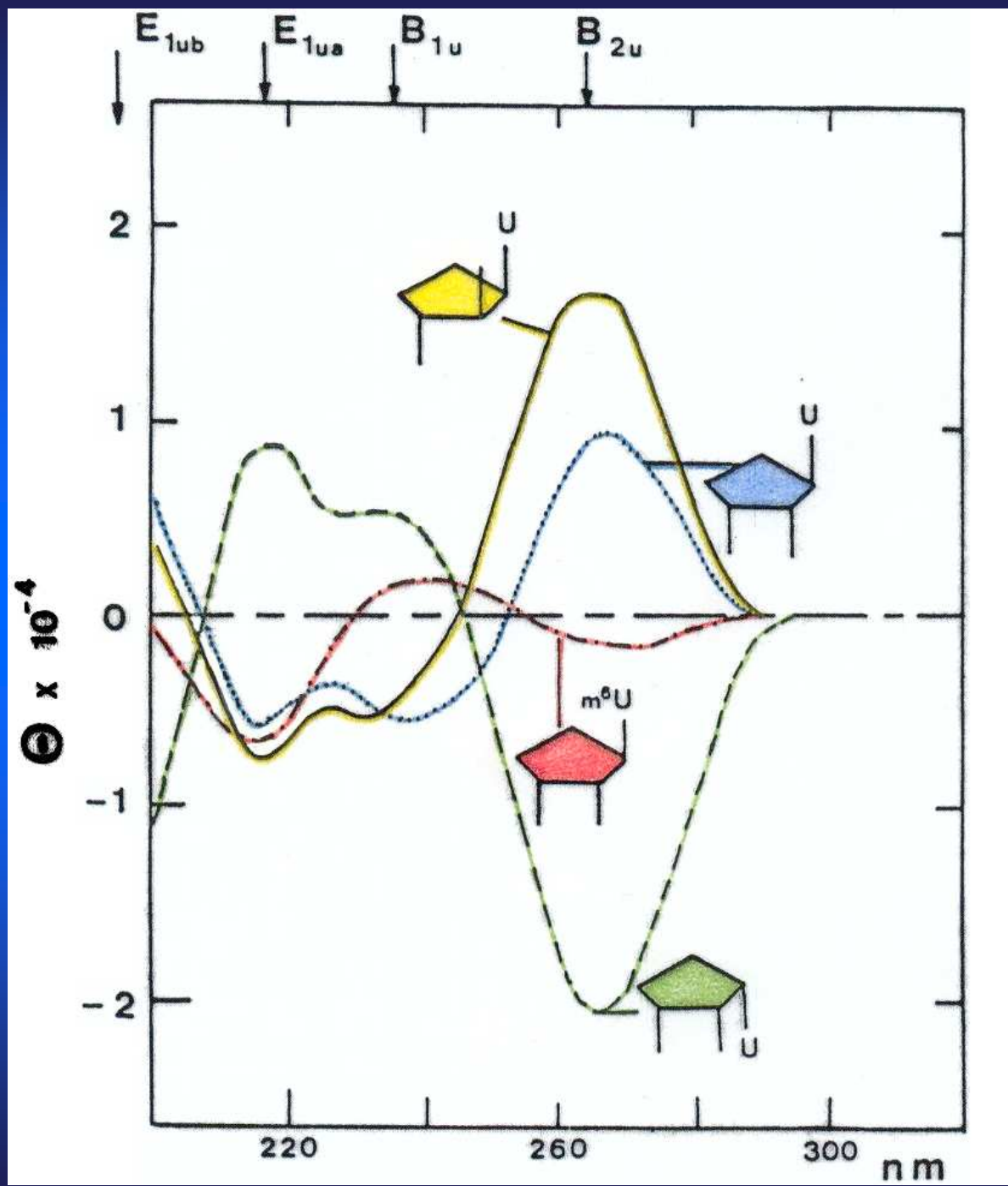


# CD of proteins

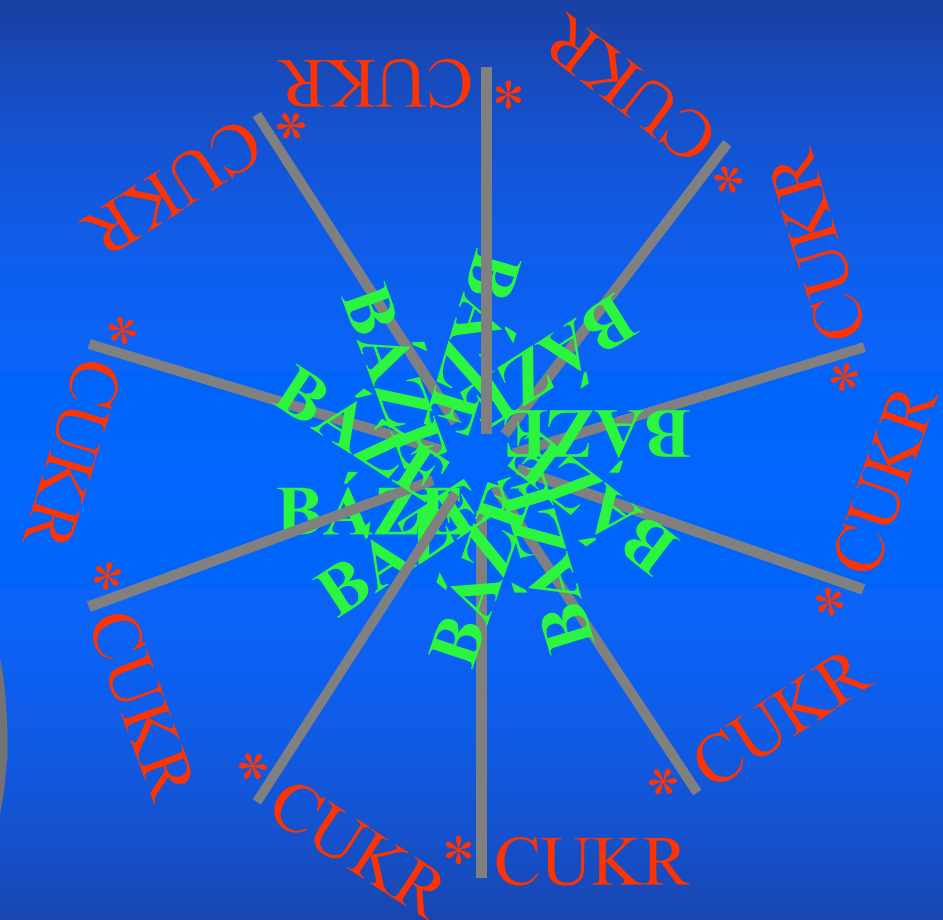


# Podmínky vzniku CD DNA





# Podmínky vzniku CD DNA



# Cirkulární dichroismus a optická aktivita biopolymerů

- ) optická aktivita – chirální látky (aminokyseliny, cukry) úhel stočení roviny polarizovaného světla, ORD
- ) CD – princip, veličiny, elipticitu,  $\Delta A$ ,  $\Delta \epsilon$ , vztah mezi ORD a CD
- ) **Výhody a nevýhody CD spektroskopie ve srovnání s jinými metodami studia biopolymarů**

## Výhody

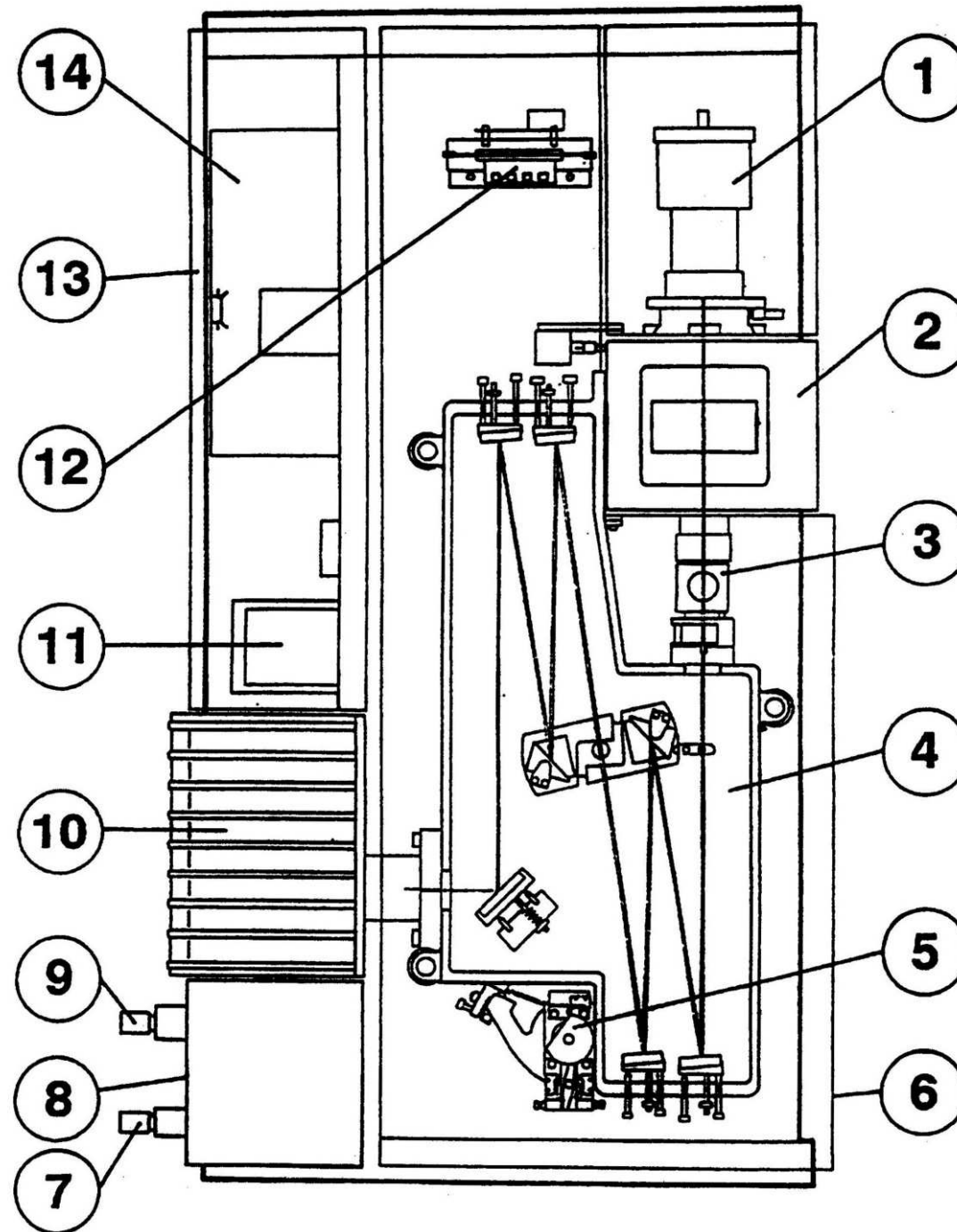
Citlivost - nízká koncentrace studované látky  
snadná rozpustnost  
i v extrémních podmírkách

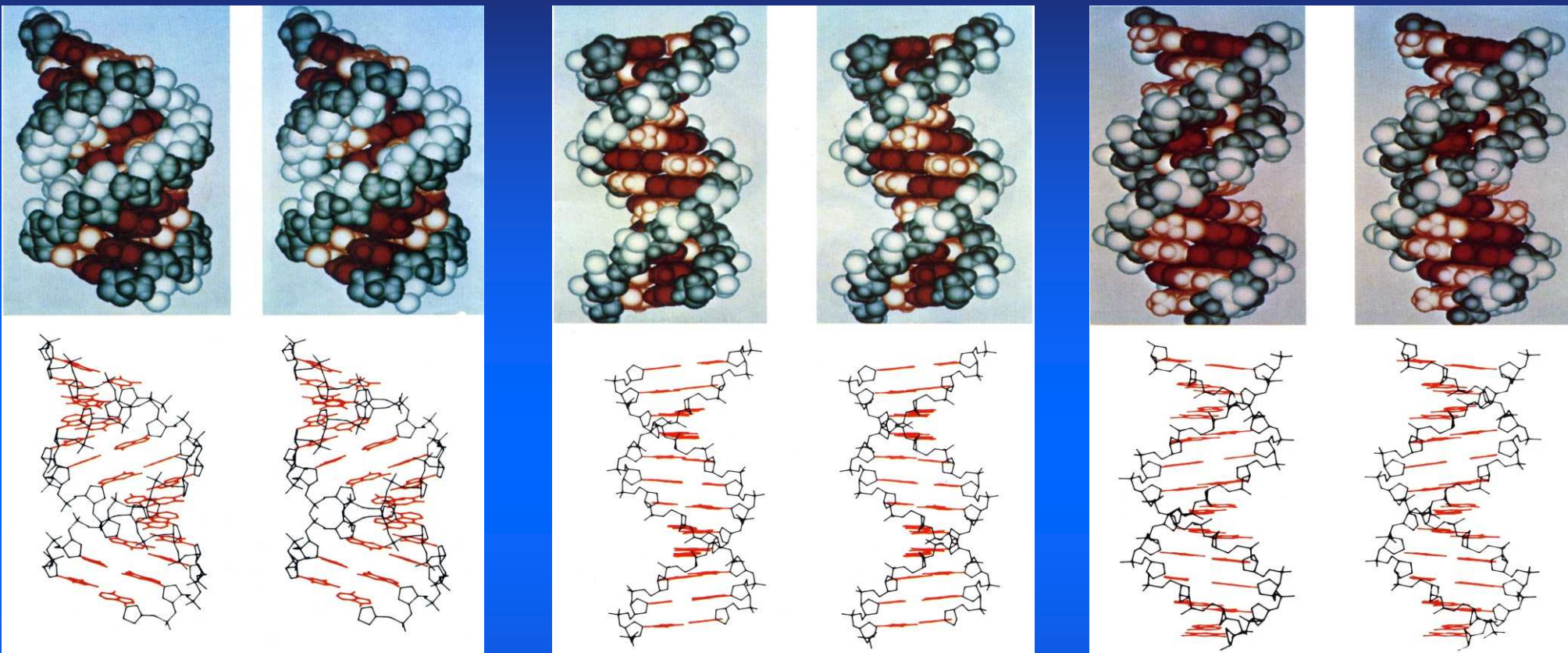
Snadná manipulace - titrace  
přechody mezi různými strukturami  
celý konformační prostor

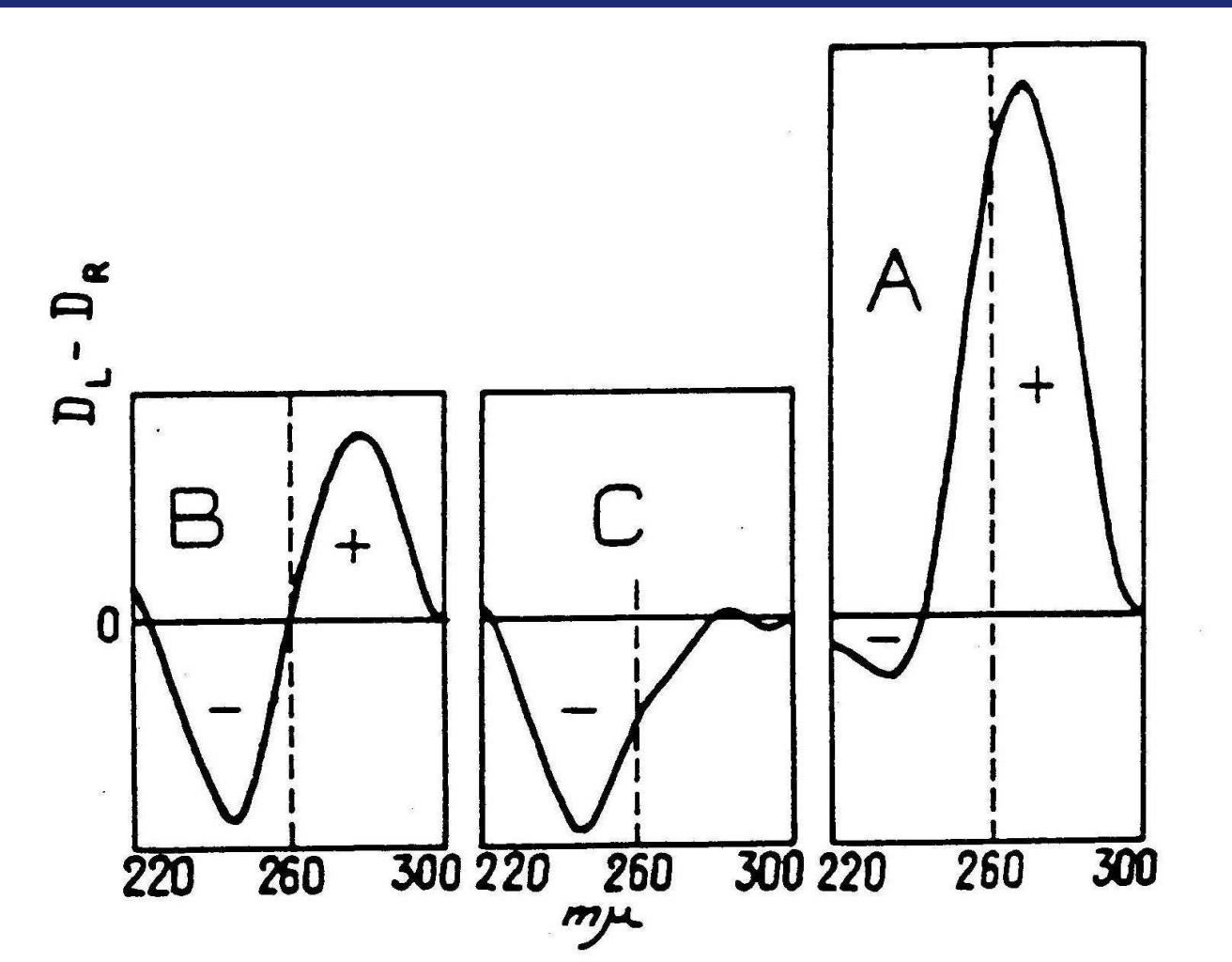
Rozlišení mezi kooperativními a nekooperativními změnami

## Nevýhody

Pro složité molekly jakými je DNA chybí explicitní vztah mezi spektrem CD a strukturou



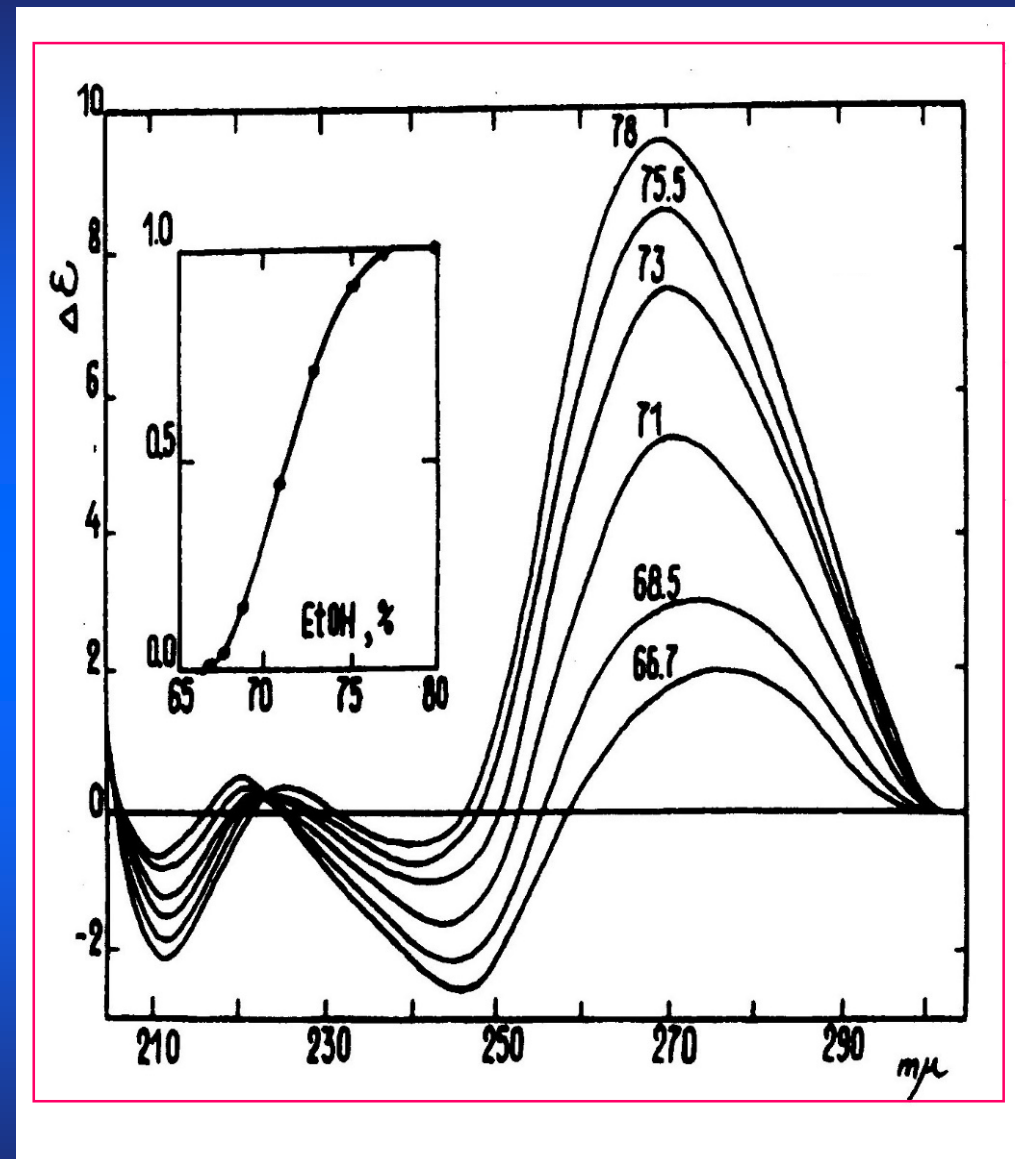
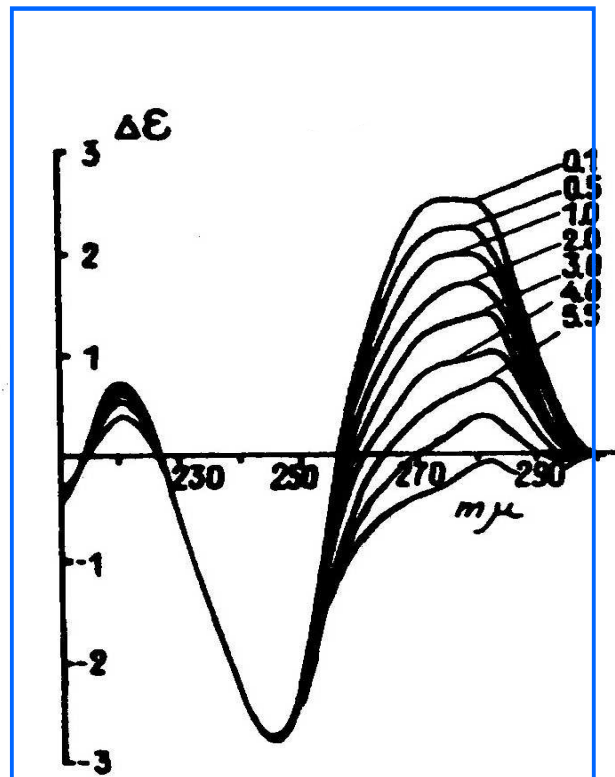




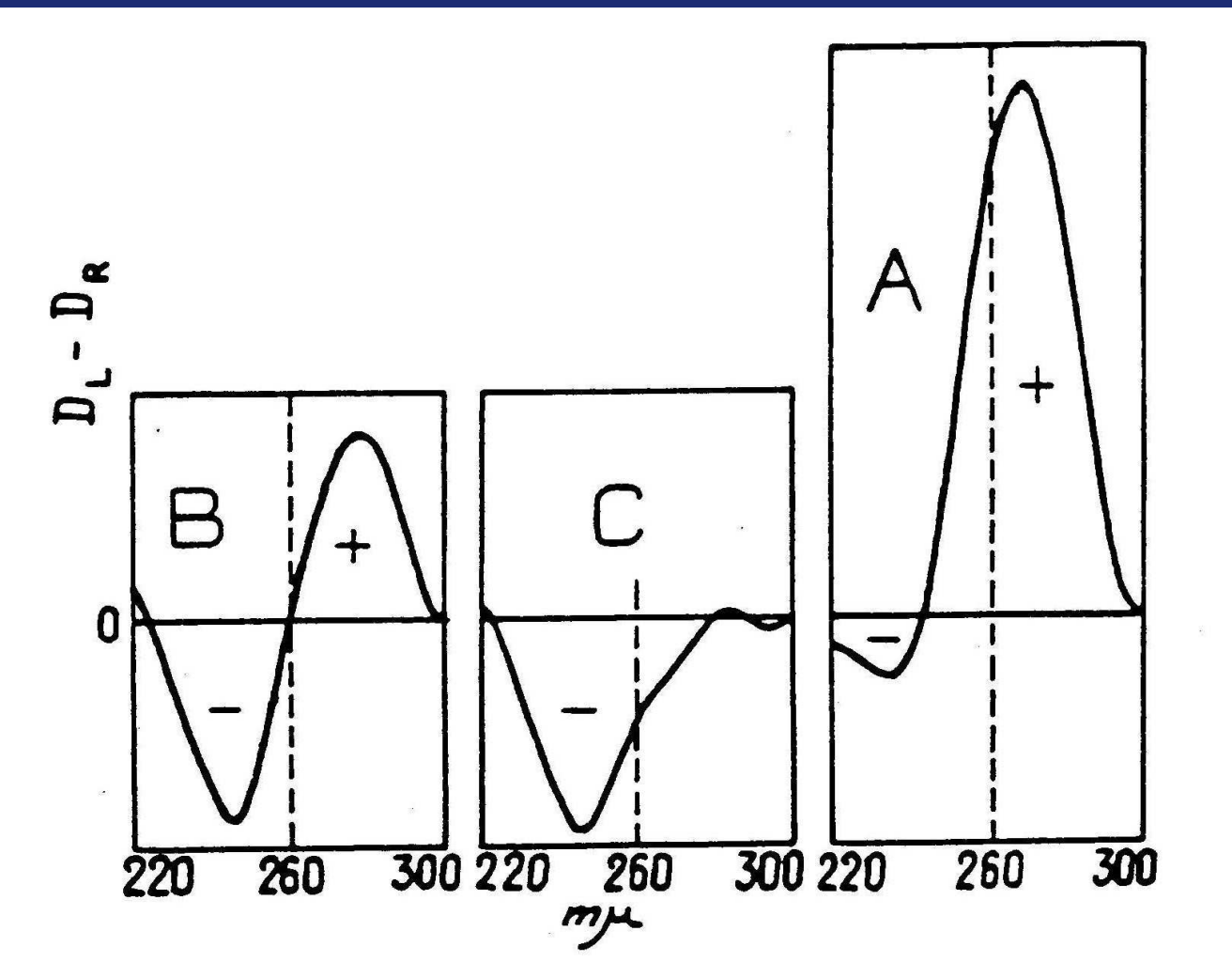
Tunis-Schneider, M.J.B. + Maestre, M.F.

# Příklady nekooperativních a kooperativních změn

Nekooperativní změny  
v rámci téže struktury



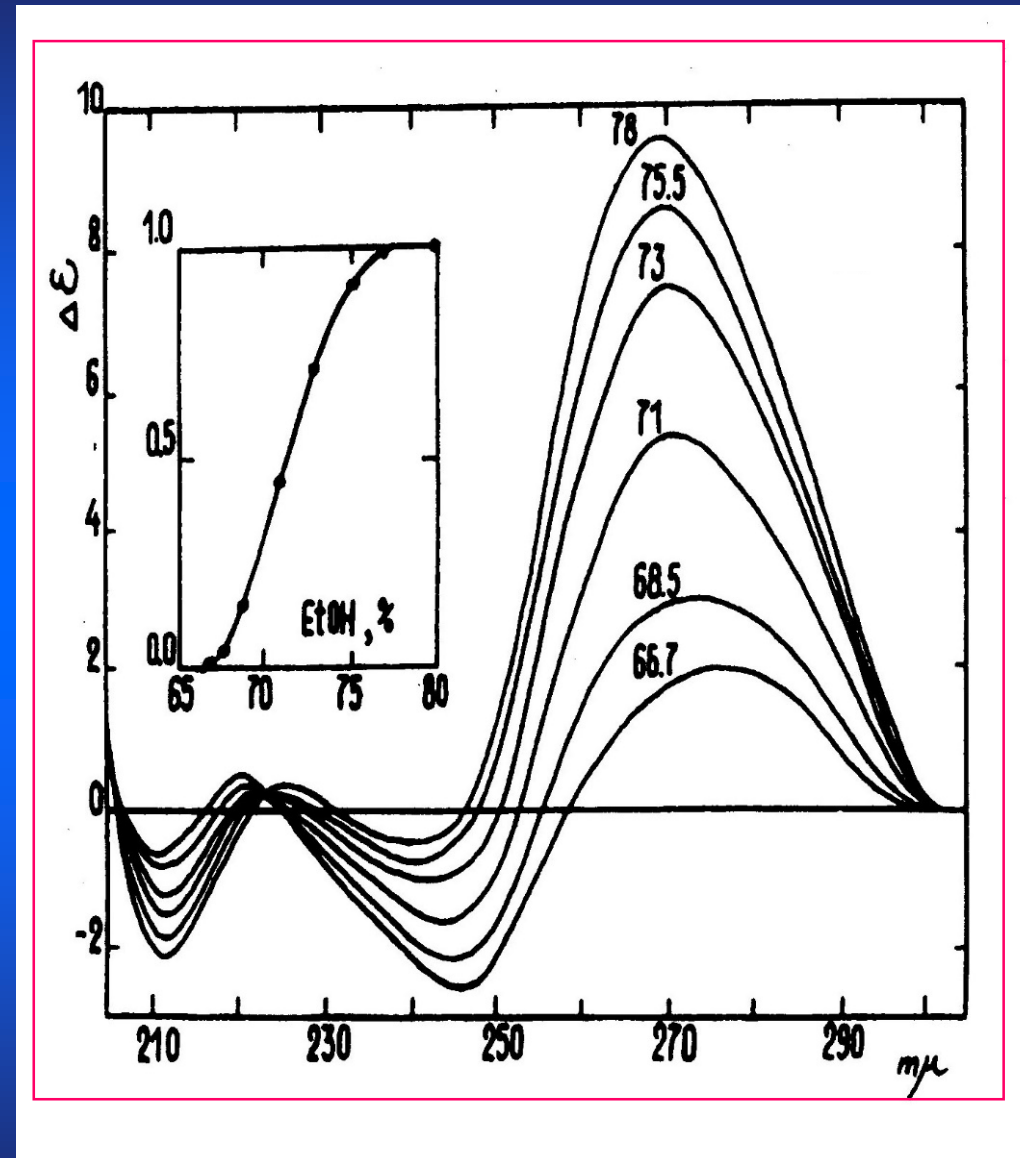
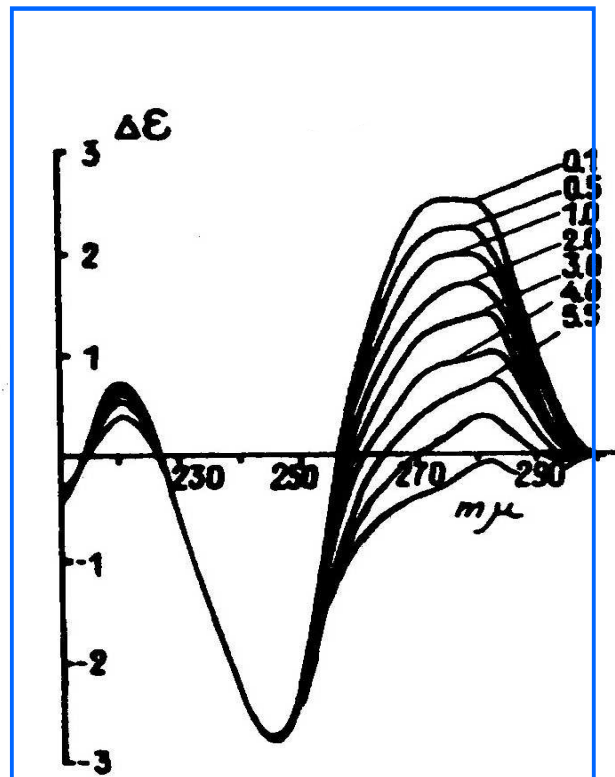
Kooperativní změny mezi diskrétními strukturami



Tunis-Schneider, M.J.B. + Maestre, M.F.

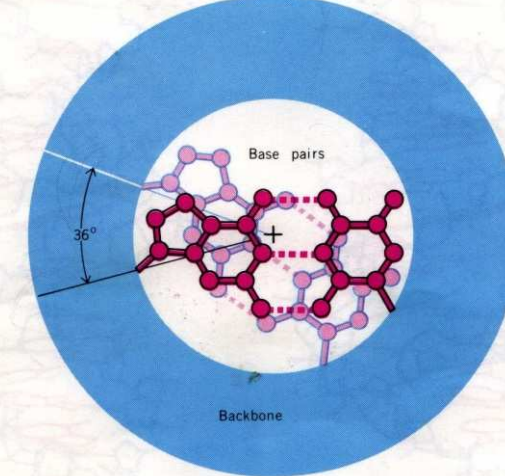
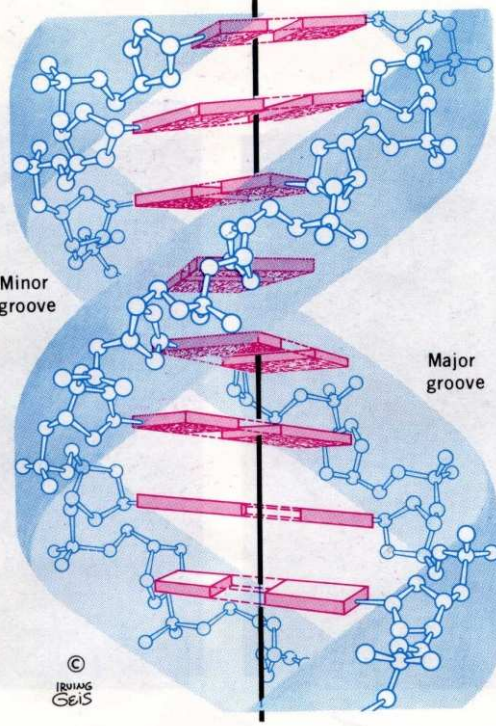
# Příklady nekooperativních a kooperativních změn

Nekooperativní změny  
v rámci téže struktury

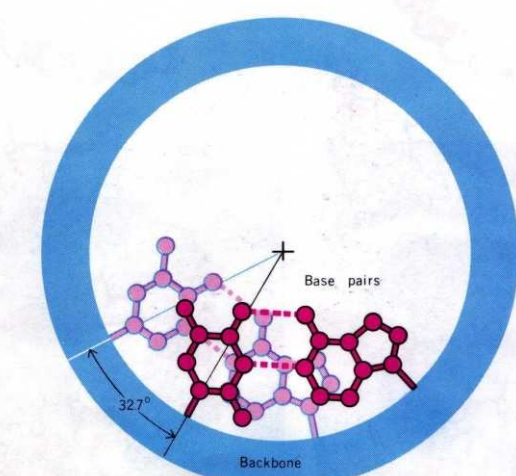
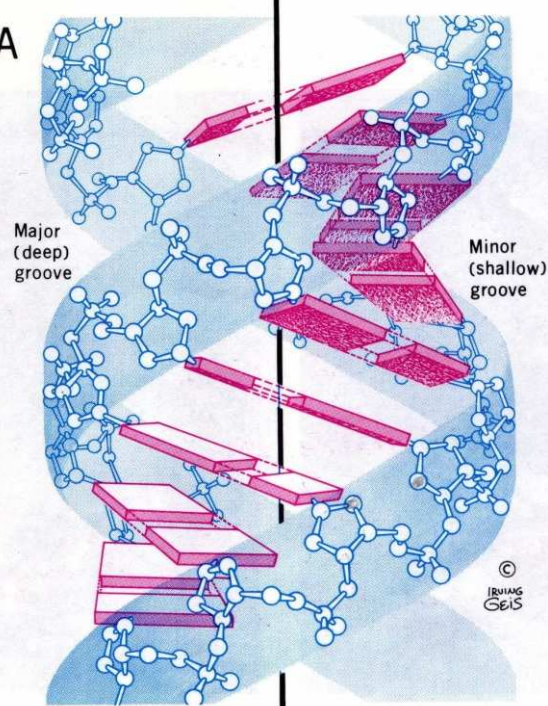


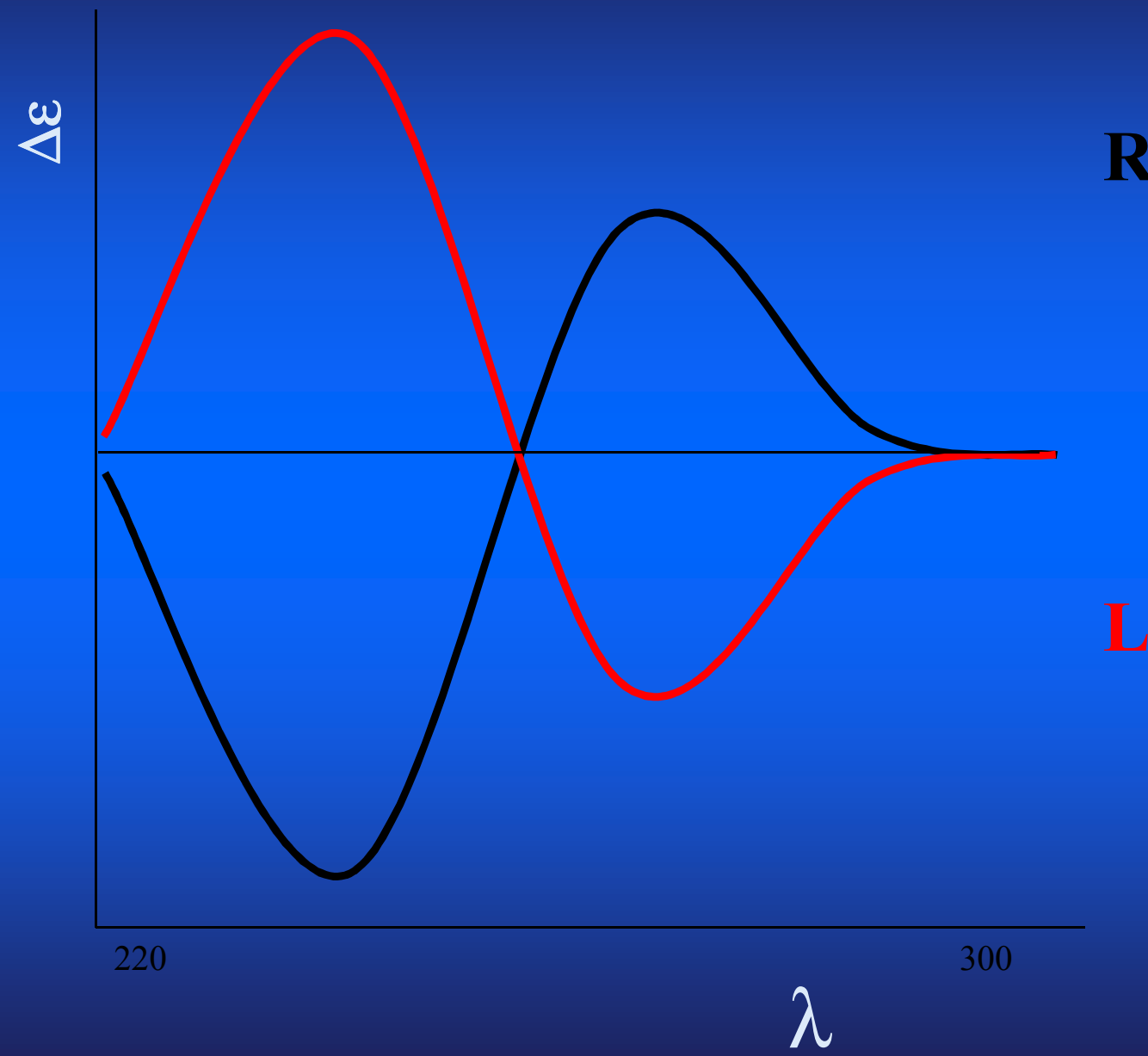
Kooperativní změny mezi diskrétními strukturami

**B DNA**

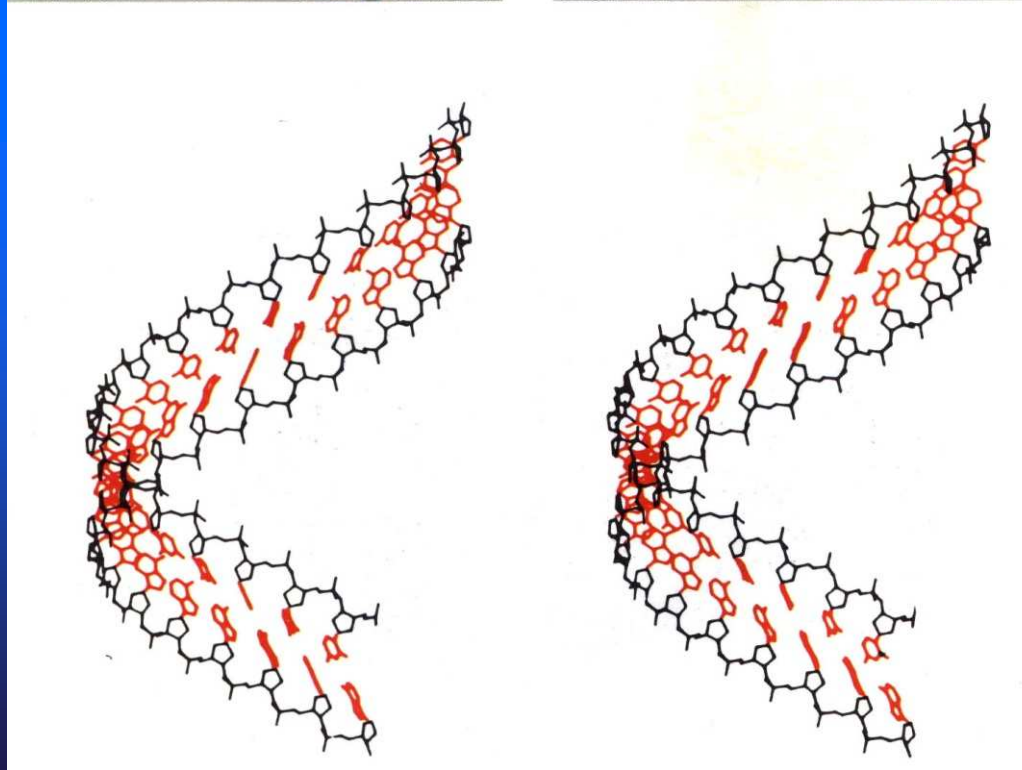
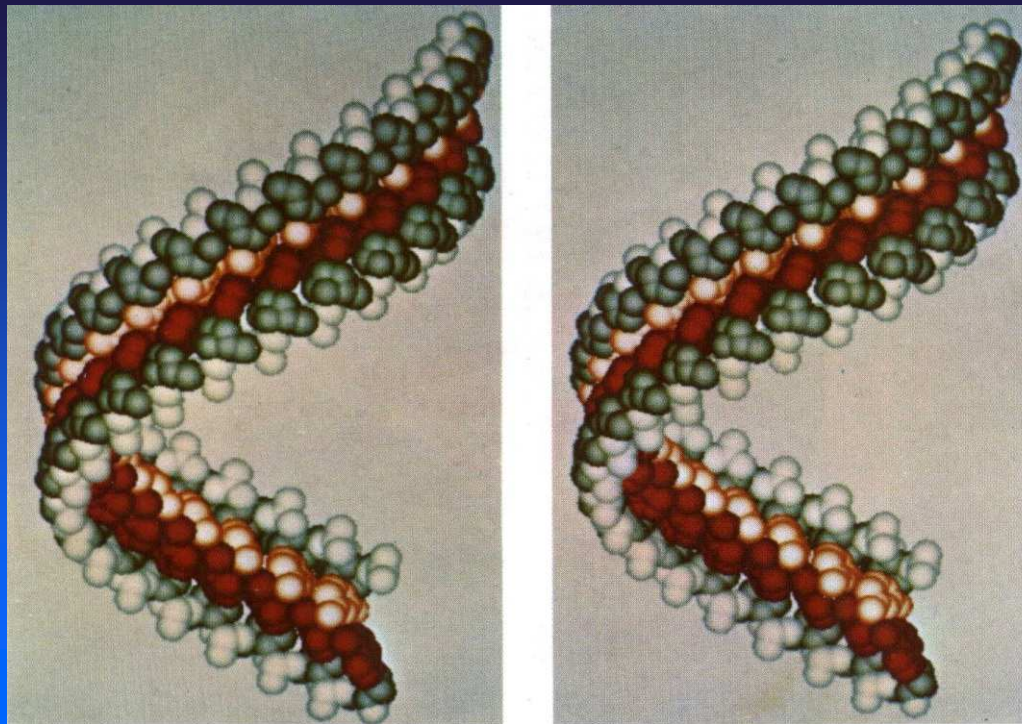


**A DNA**

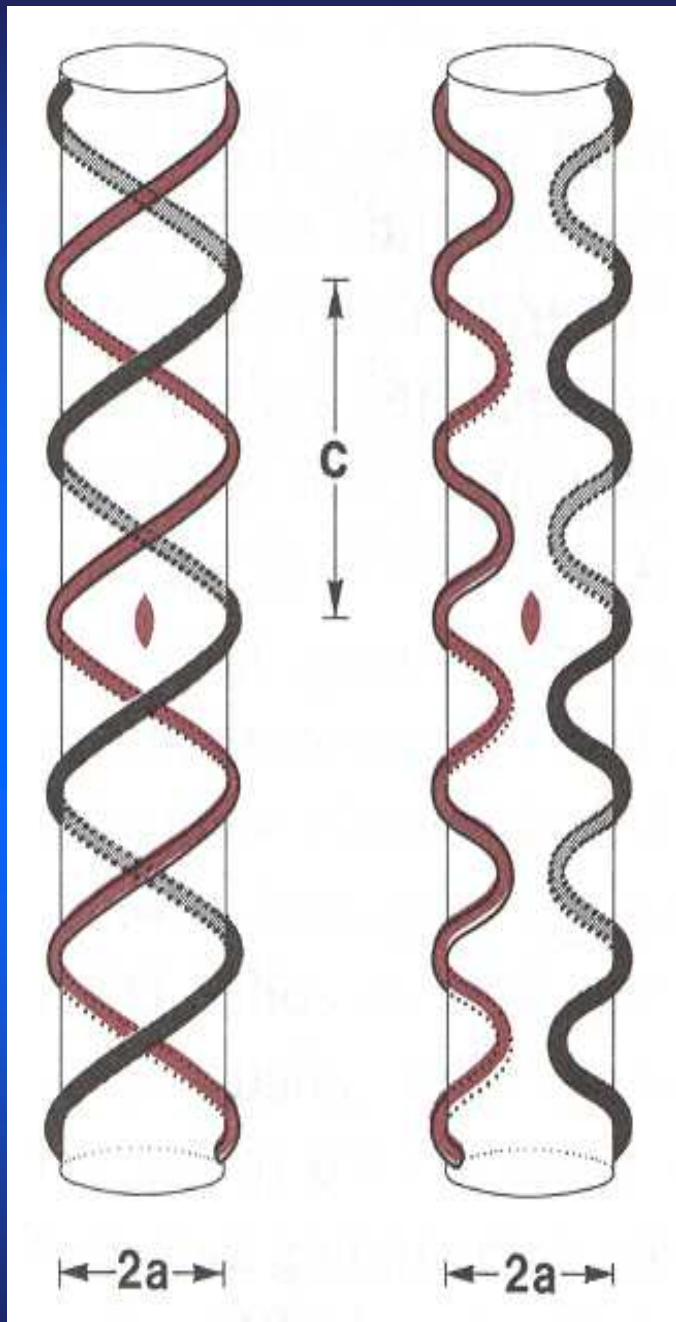


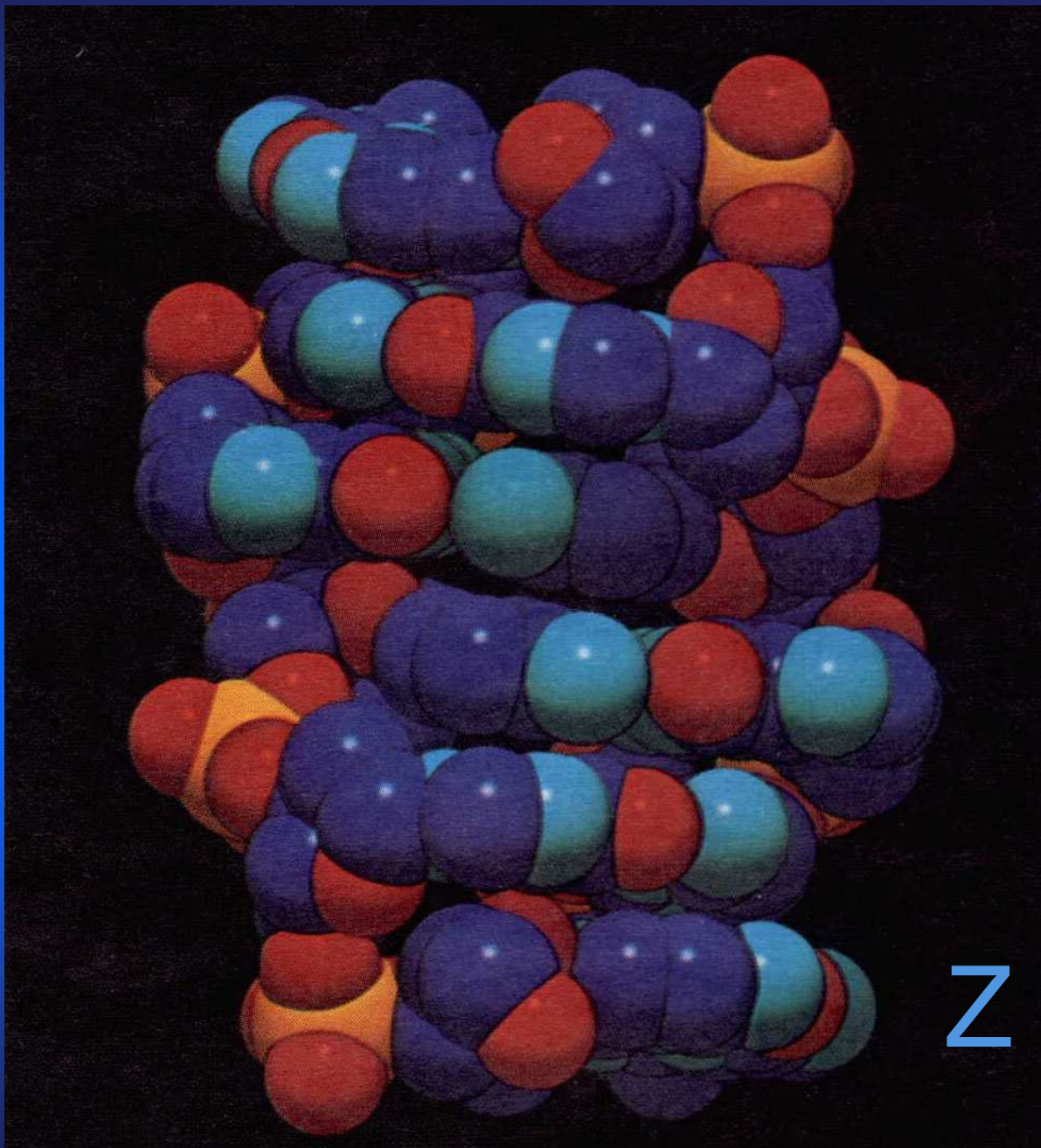


Pohl, F., Jovin T.: J.Mol Biol 1972

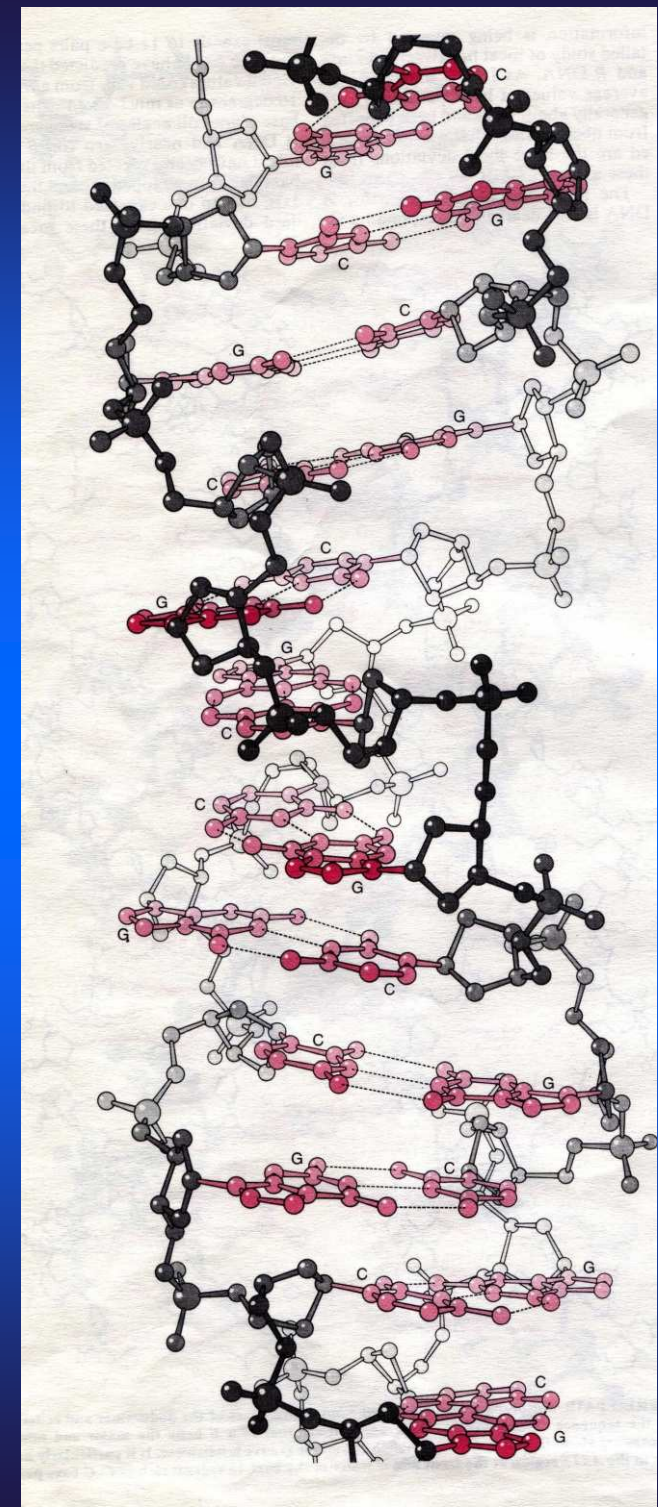


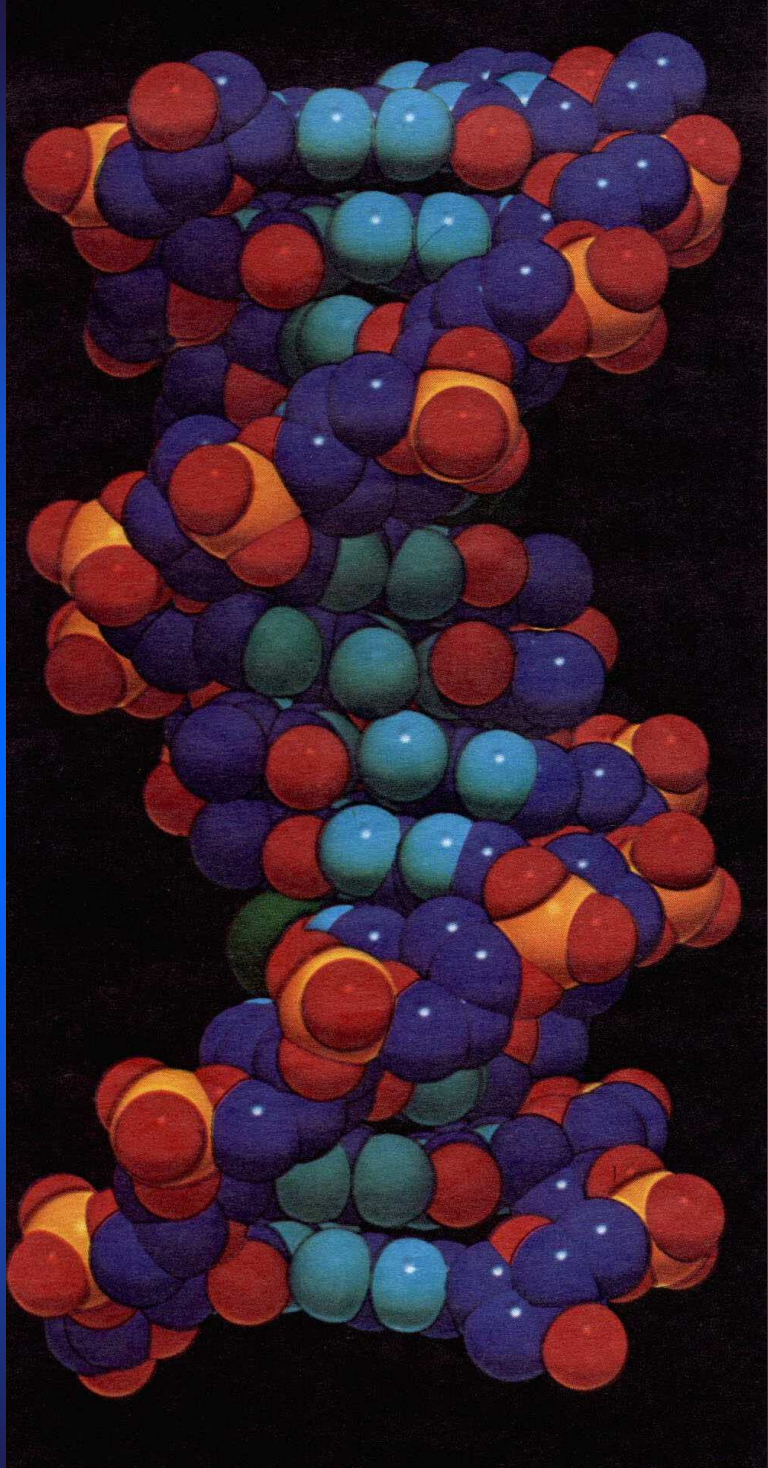
Vilma Olson



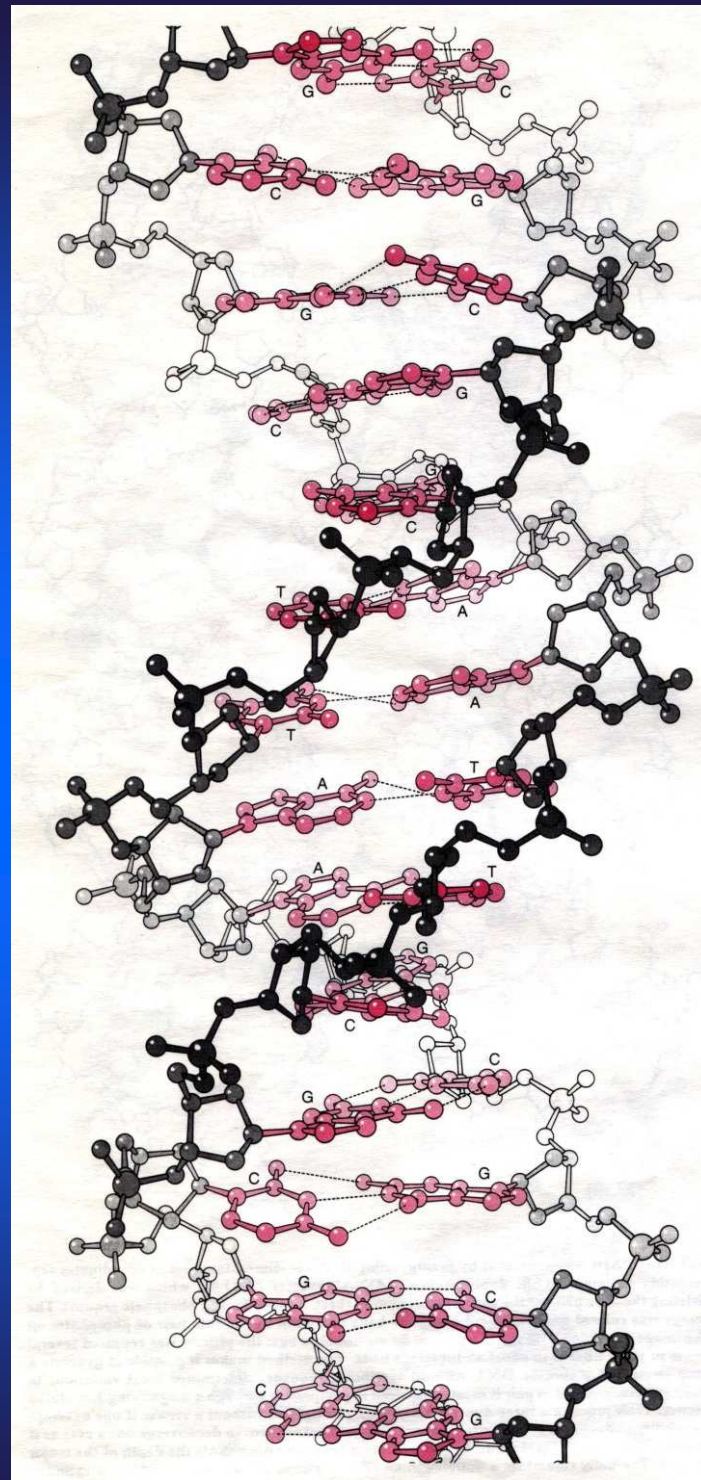


Dickerson, R.

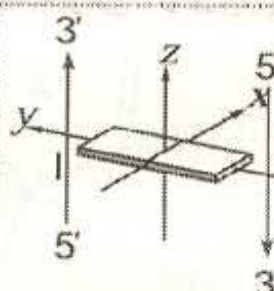
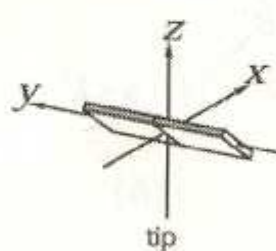
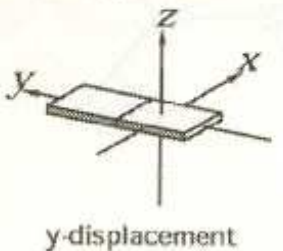
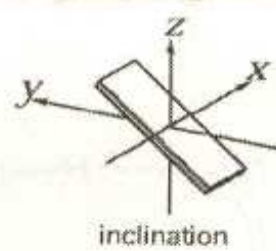
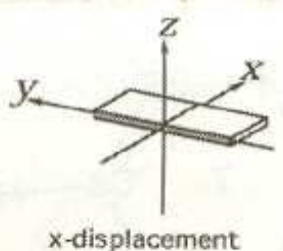
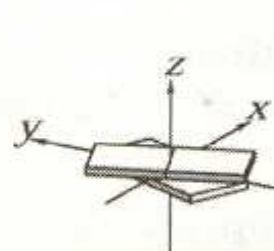
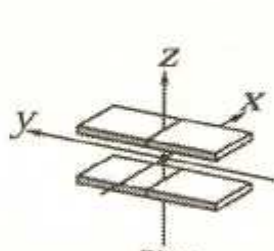
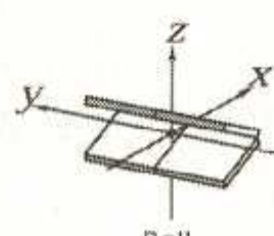
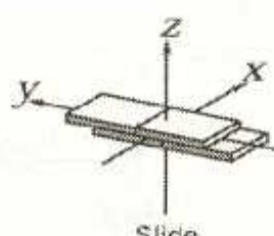
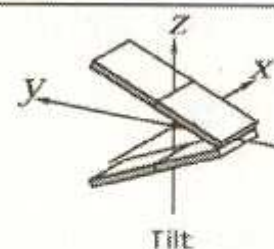
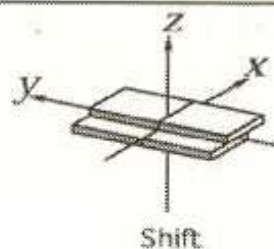
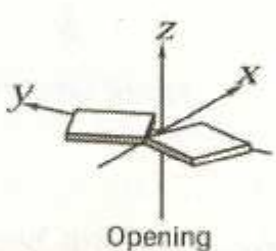
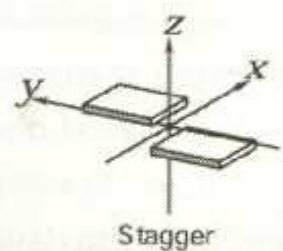
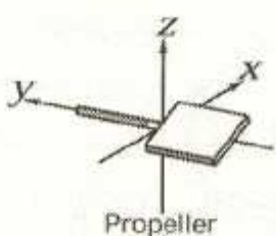
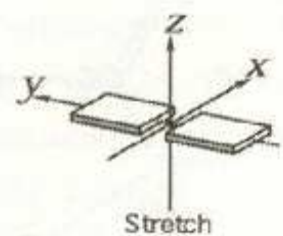
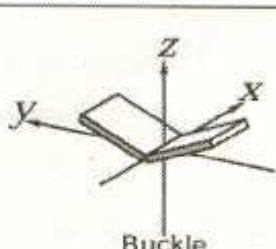
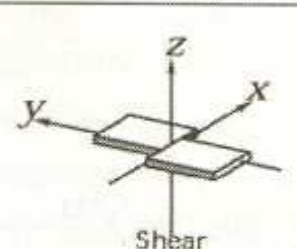




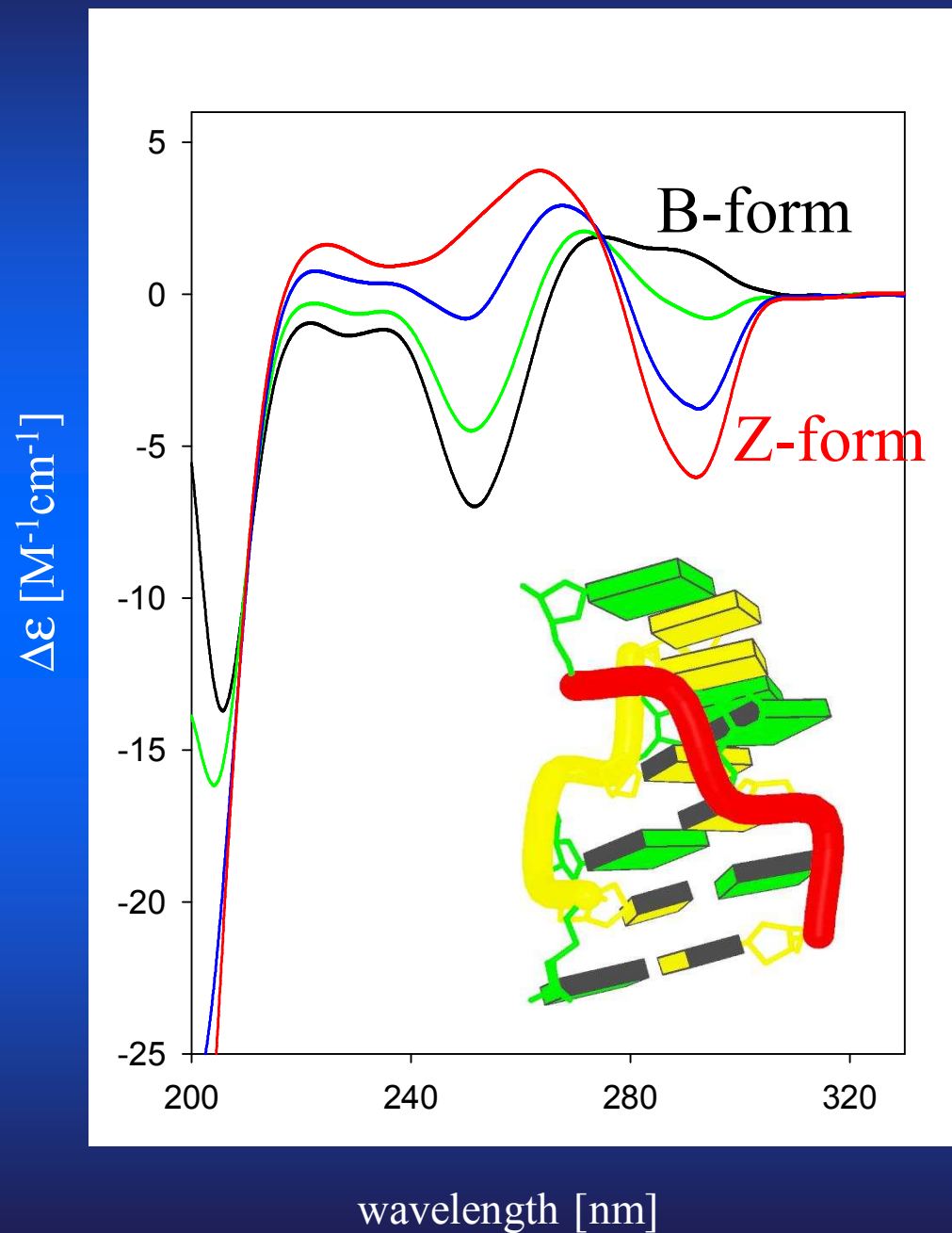
B

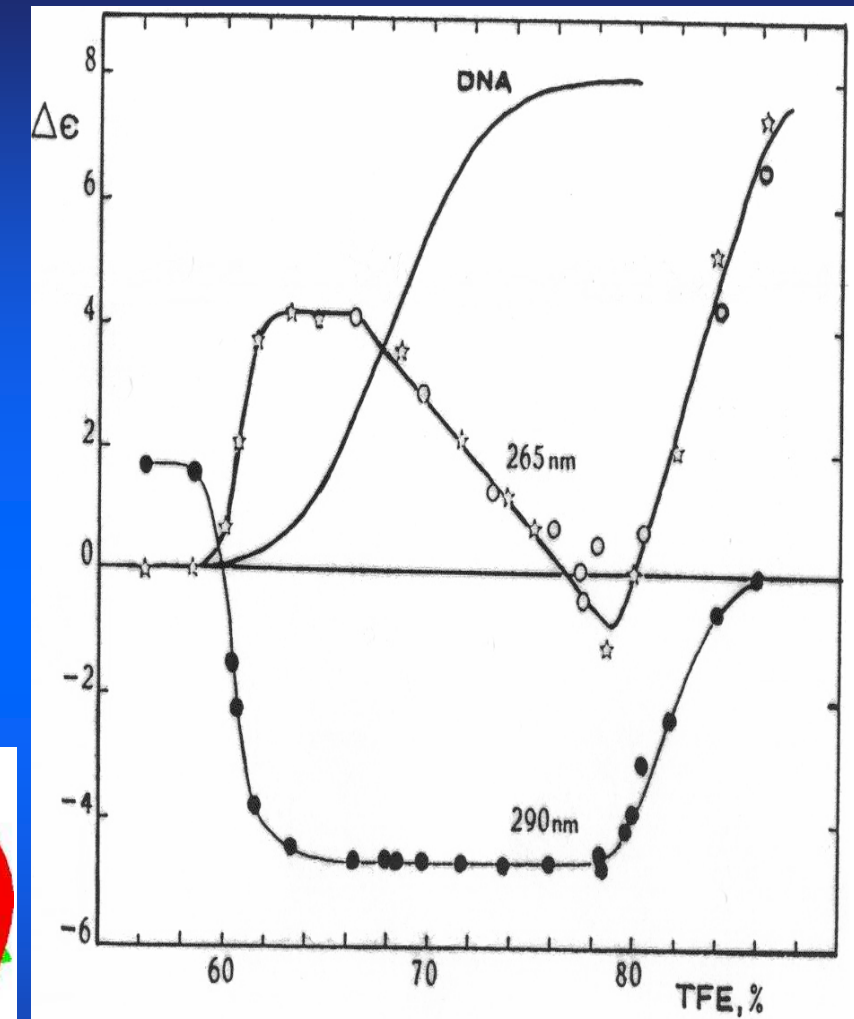
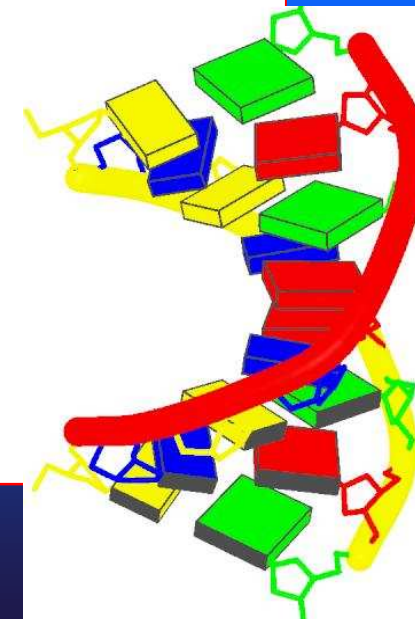
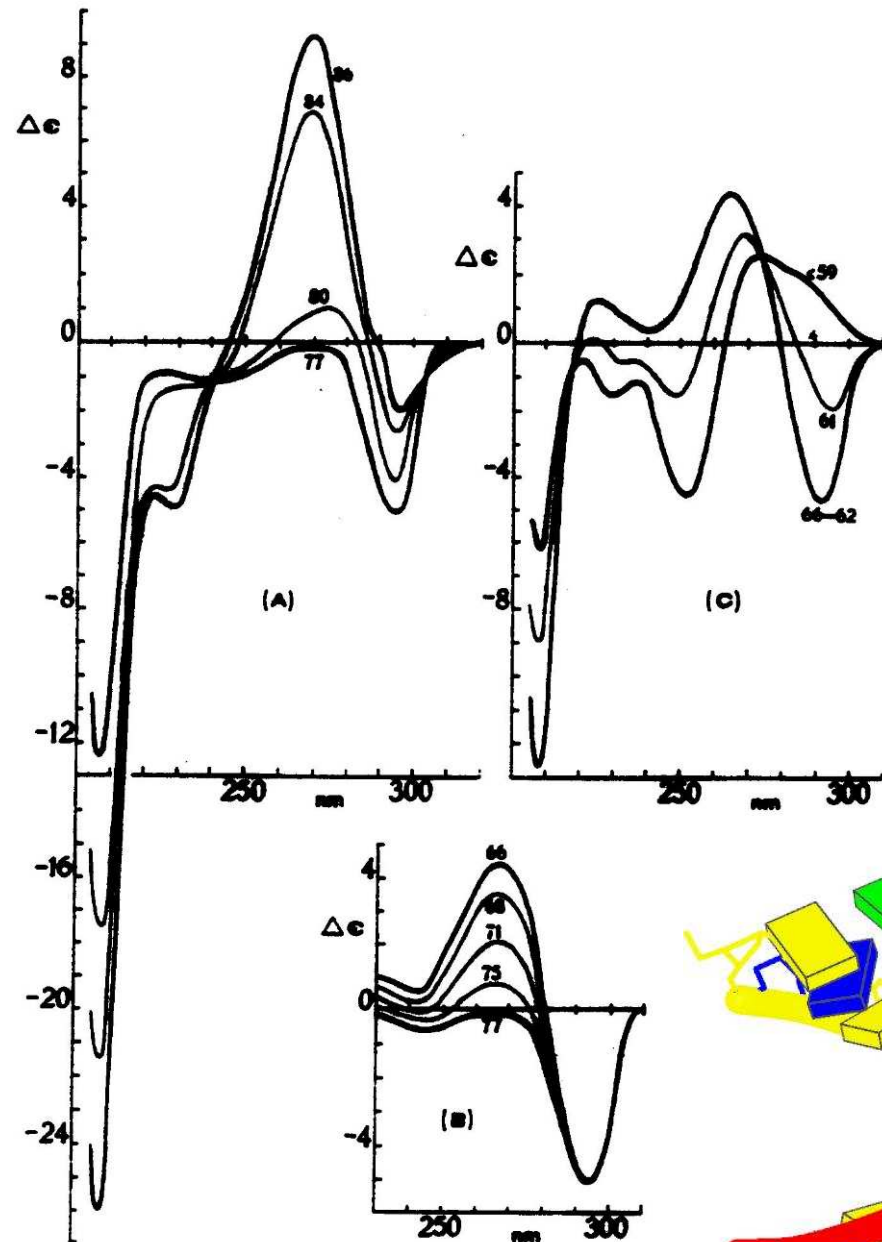


Dickerson, R.

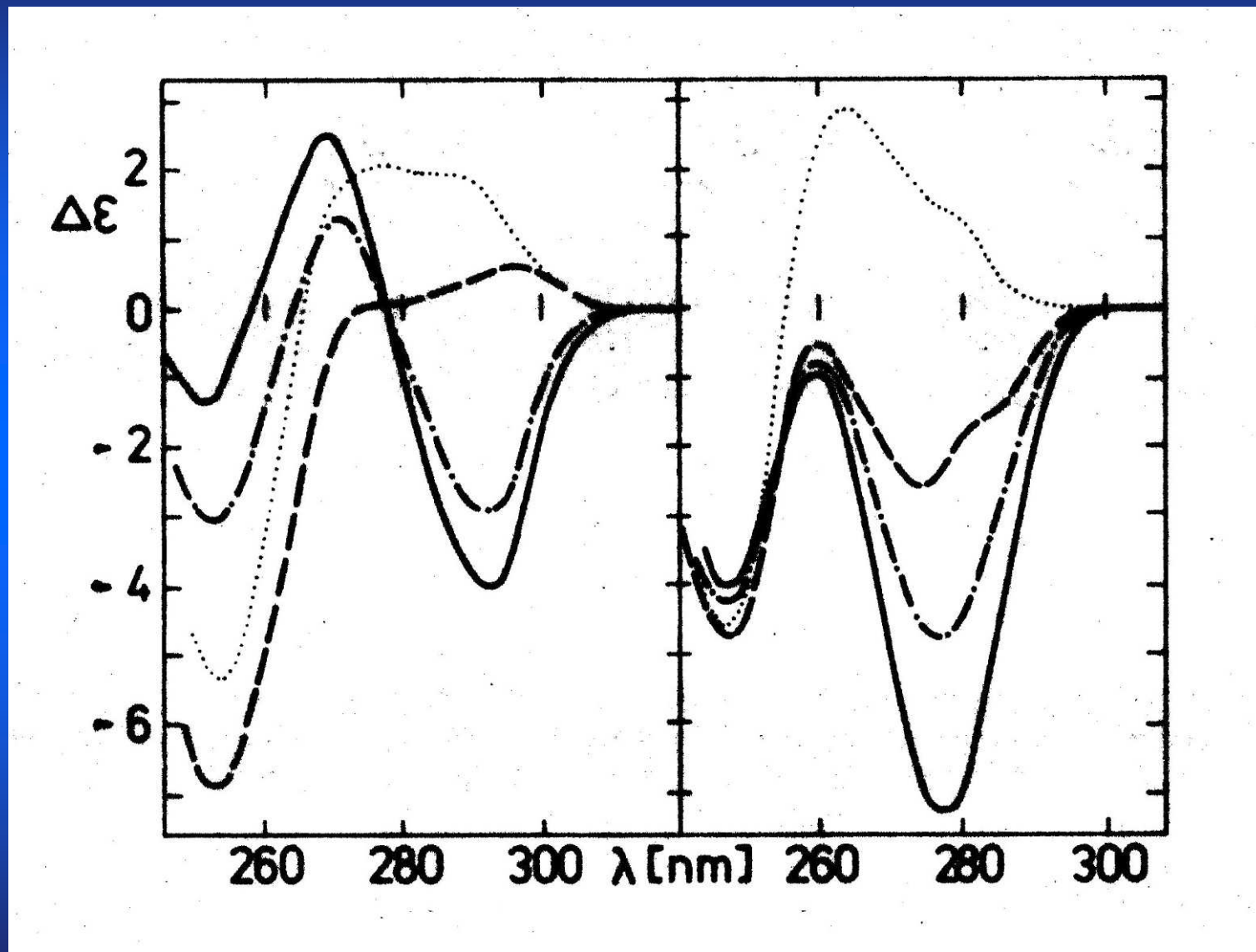


# CD spectral changes accompanying B-Z transition of poly(dG-dC)



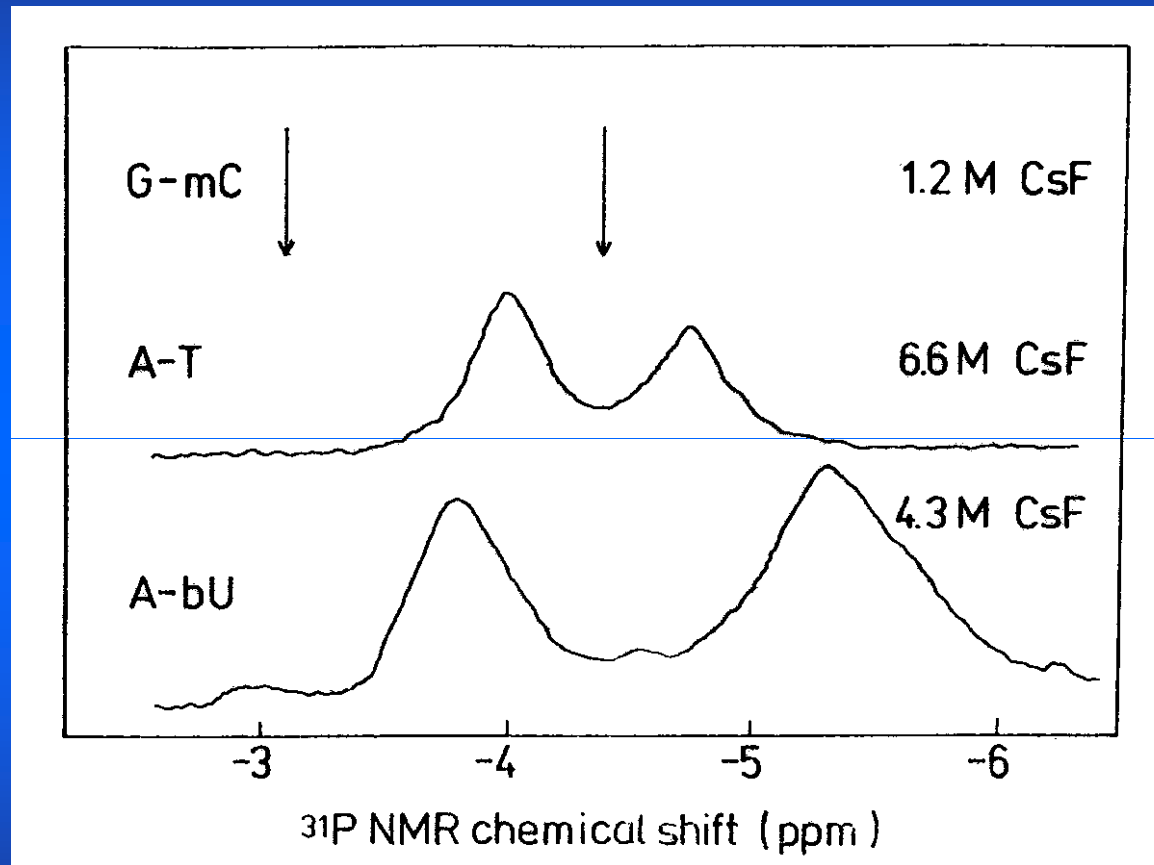


ATATATATATATATATATATATATATATATATA

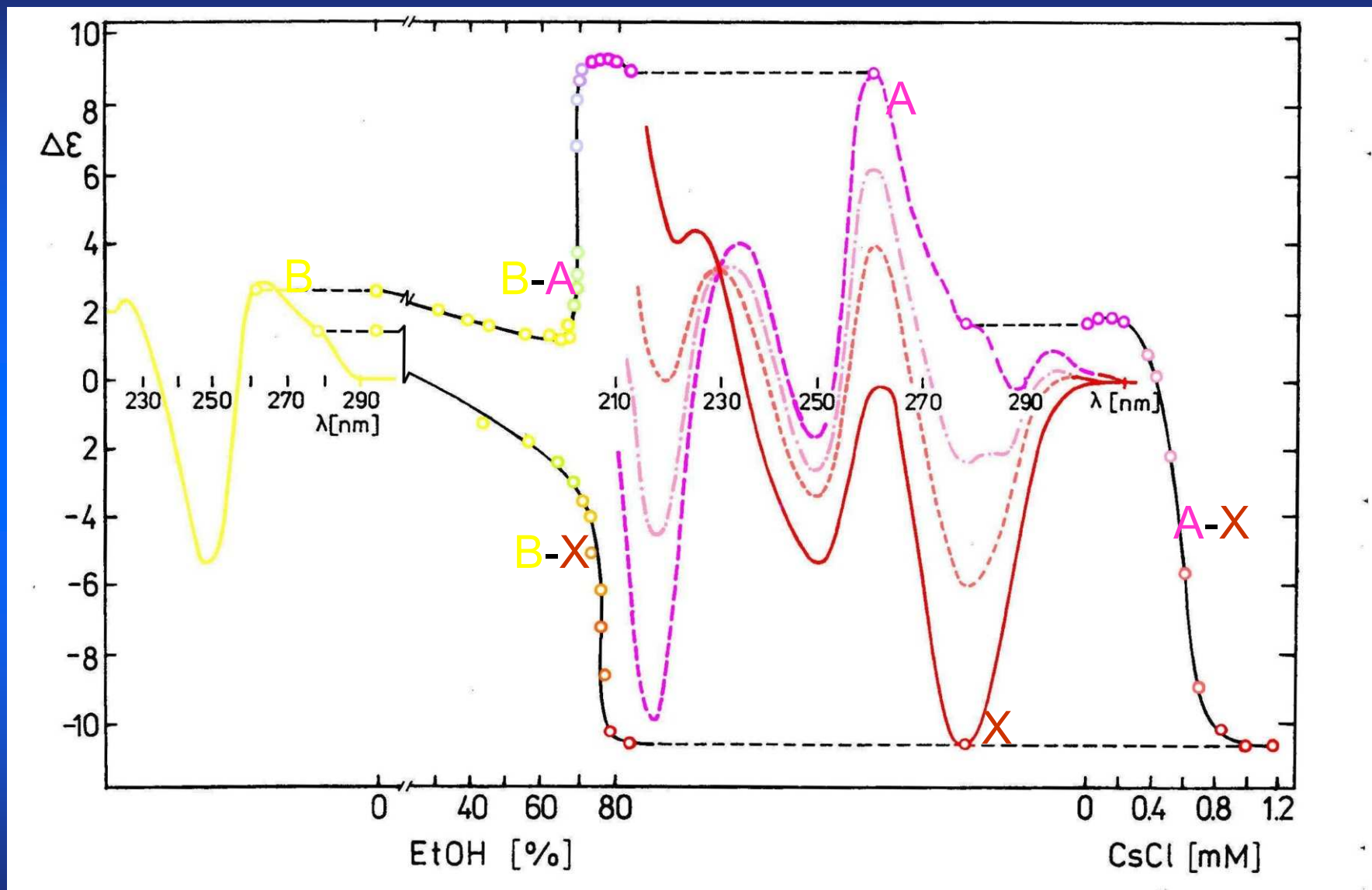


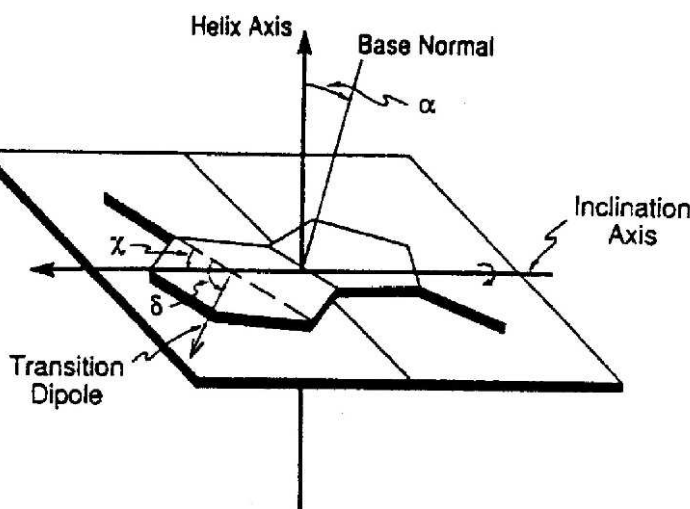
Vorlíčková, M., Sklenář, V., Kypr, J.: *J. Mol. Biol.* **166** (1983) 85-92

ATATATATATATATATATATATATATATATATA



X-DNA





$$LD = A_{\parallel} - A_{\perp}$$

## Lineární dichroismus

	$\alpha$ [deg]	$\chi$ [deg]
dA	20.9	95.2
dT	39.7	60.8

The figure displays two chemical structures of DNA base pairs, illustrating different conformations. The left structure shows a purine-purine base pair with a buckle conformation, characterized by a small  $\alpha$  angle (around 20°) and a large  $\chi$  angle (around 95°). The right structure shows a purine-pyrimidine base pair with a propeller conformation, characterized by a larger  $\alpha$  angle (around 39°) and a smaller  $\chi$  angle (around 61°).

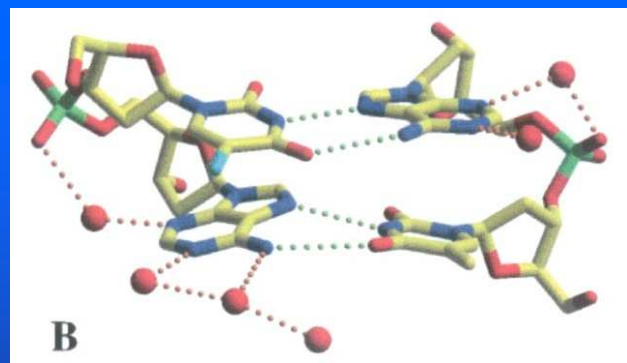
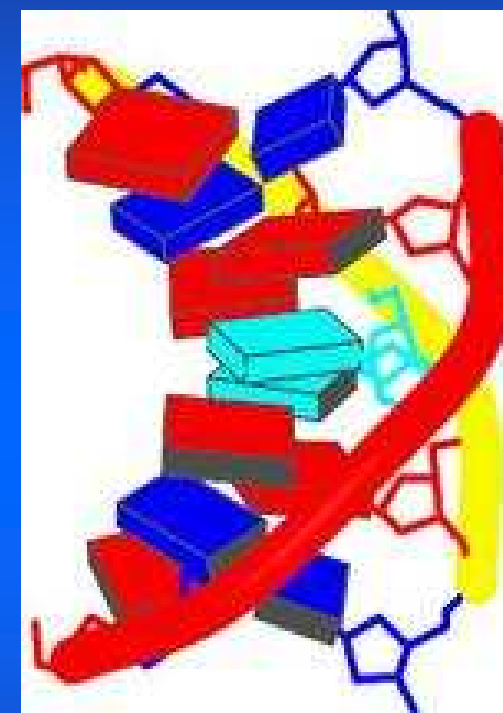
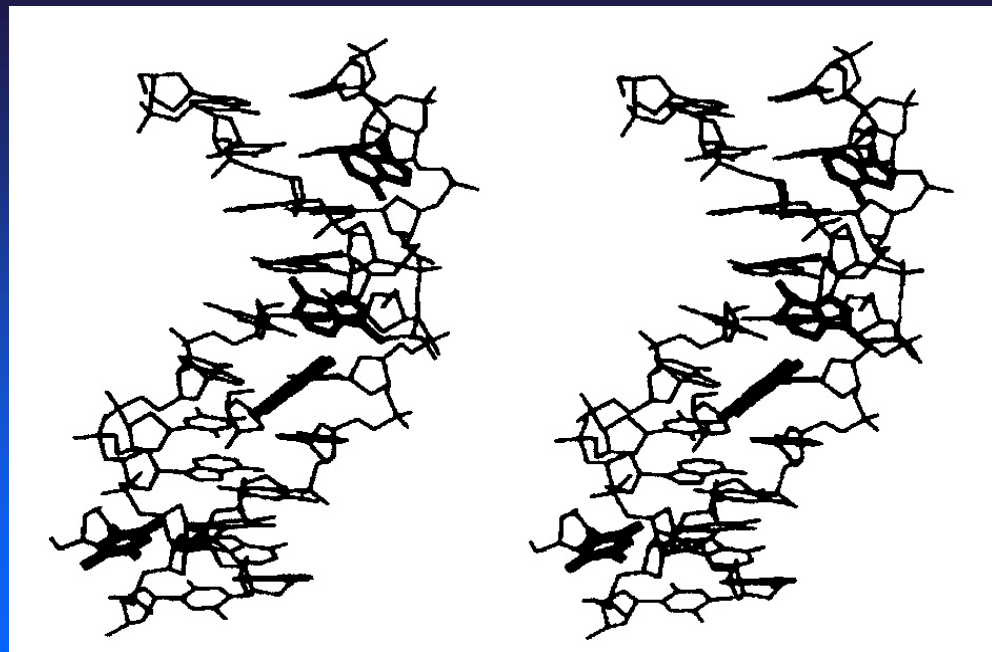
$\alpha$  - inclination of the base normal from the helix axis

$\chi$  - orientation of the inclination axis relative to the C<sub>4</sub> – C<sub>5</sub> bond of the purine base or the C<sub>6</sub> – C<sub>5</sub> bond for the pyrimidine base

---

Inclin.	Buckle	Propeller	Helical Twist
20°	31°	40°	36° ApT
			66° TpA

7 bp / turn



## ALTERNATING A-T FRAGMENT WITH HOOGSTEEN BASE PAIRING

Subirana, J.: *Proc.Nat.Acad.Sci.USA* , **99**, pp. 2806, 2002.  
*Biochemistry* , **43**, pp. 4092 - 4100, 2004.

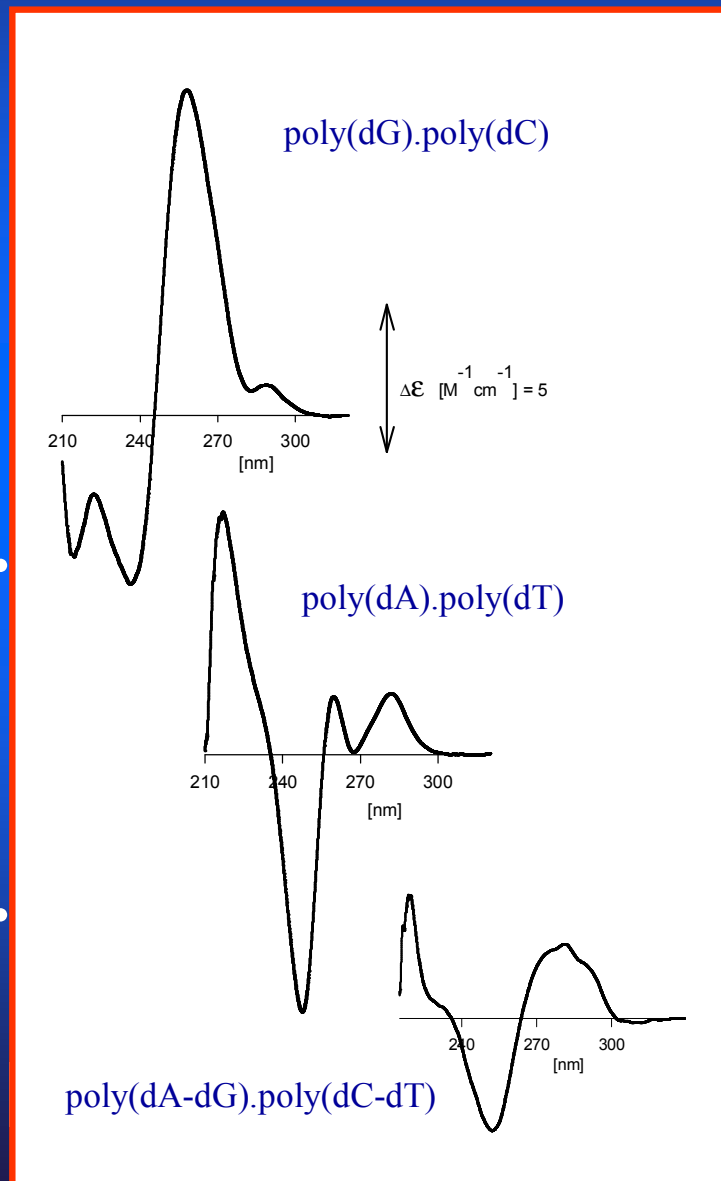
# Alternating $(\text{Pu-Py})_n$

# $(\text{Pu})_n \cdot (\text{Py})_n$ complexes

... [ GCGCGC  
CGCGCG ] ...

... [ ATATAT  
TATATA ] ...

... [ ACACAC  
TGTGTG ] ...



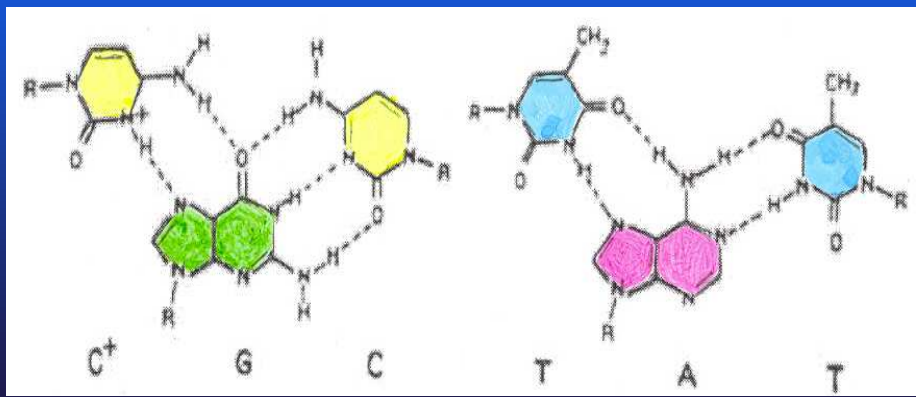
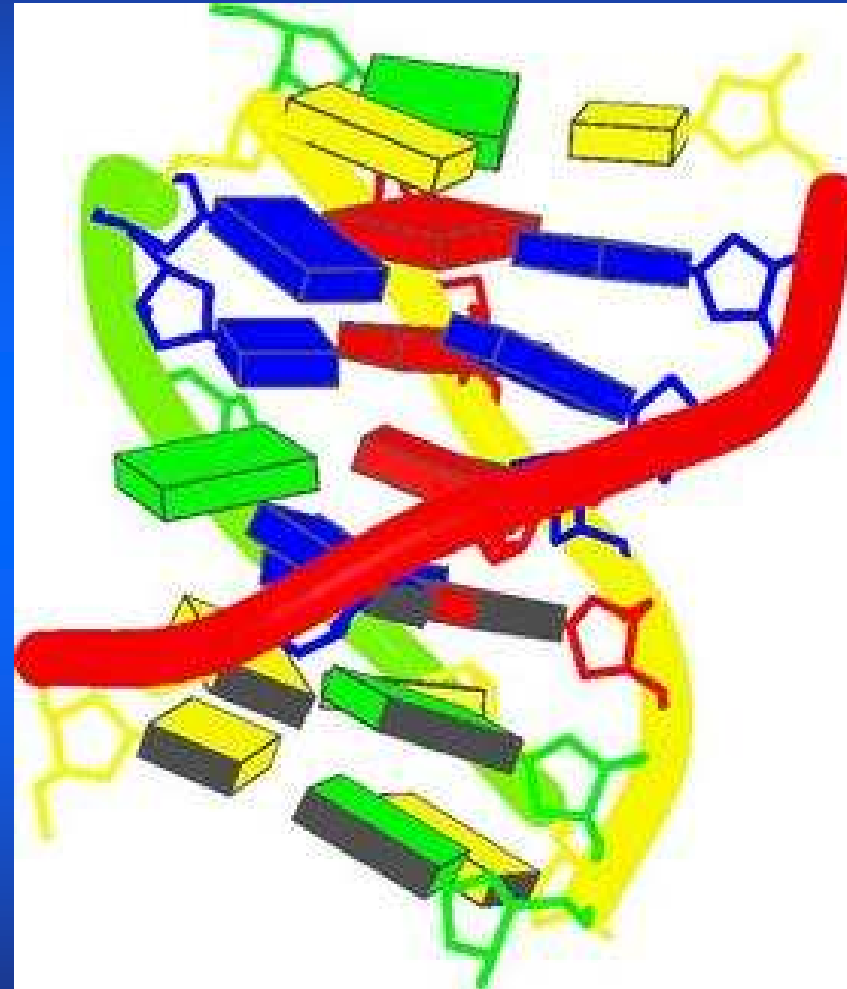
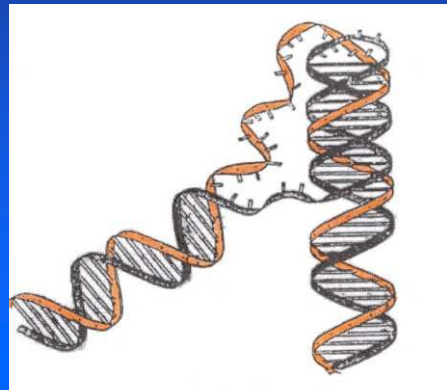
[ GGGGGG  
CCCCCC ] ...

[ AAAAAA  
TTTTTT ] ...

[ AGAGAG  
TCTCTC ] ...

# DNA Triplex

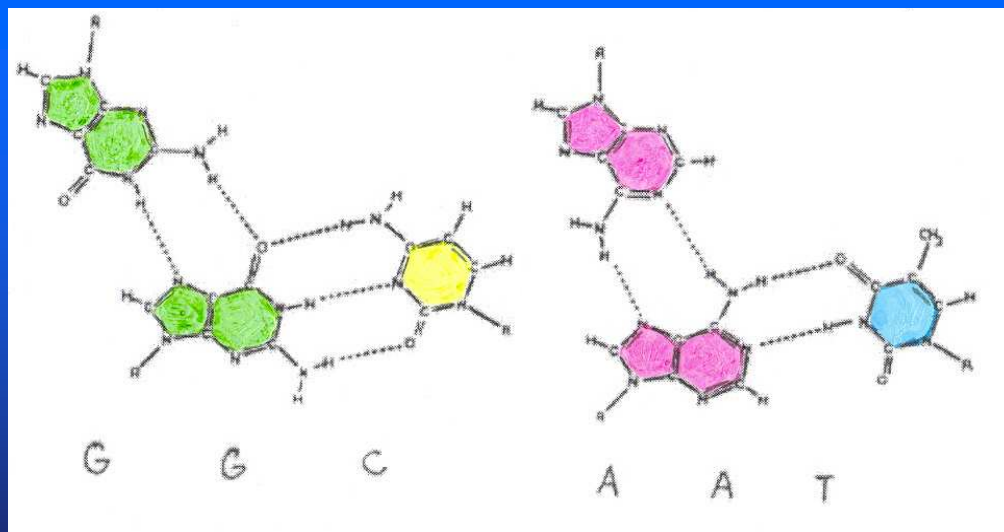
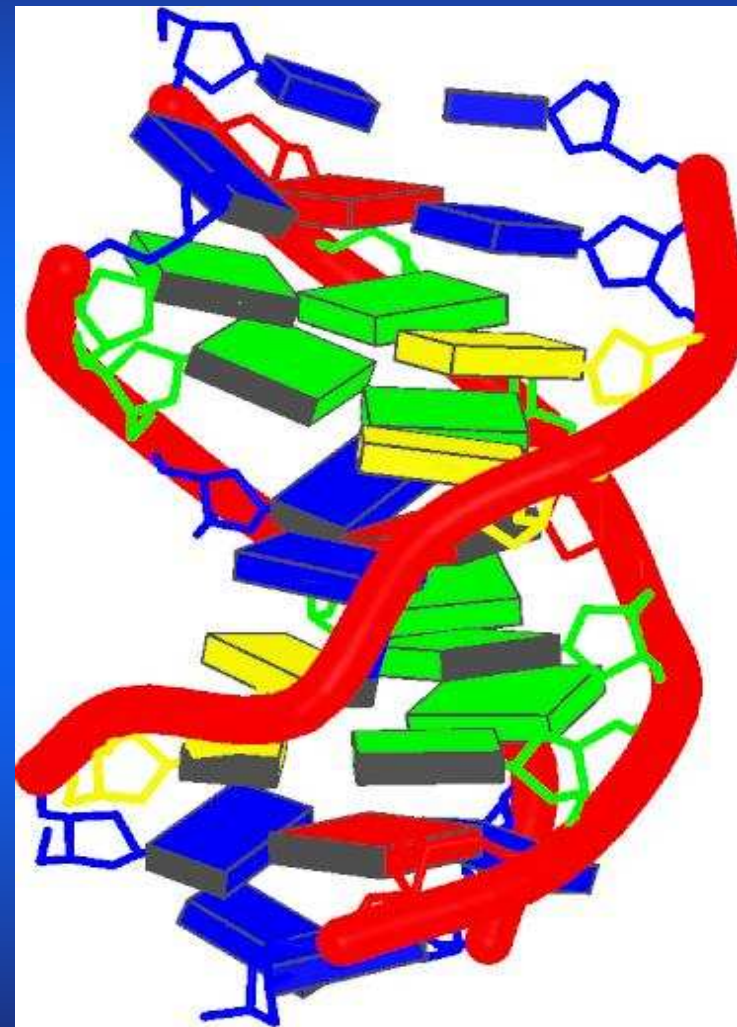
## Pyrimidine. Purine. Pyrimidine



*Radhakrishnan, I., Patel, D.J. (1994)*

# DNA TRIPLEX

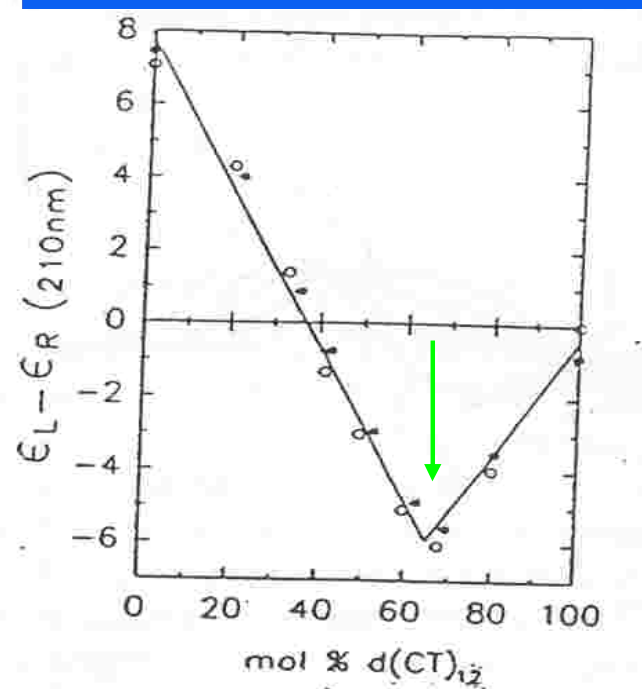
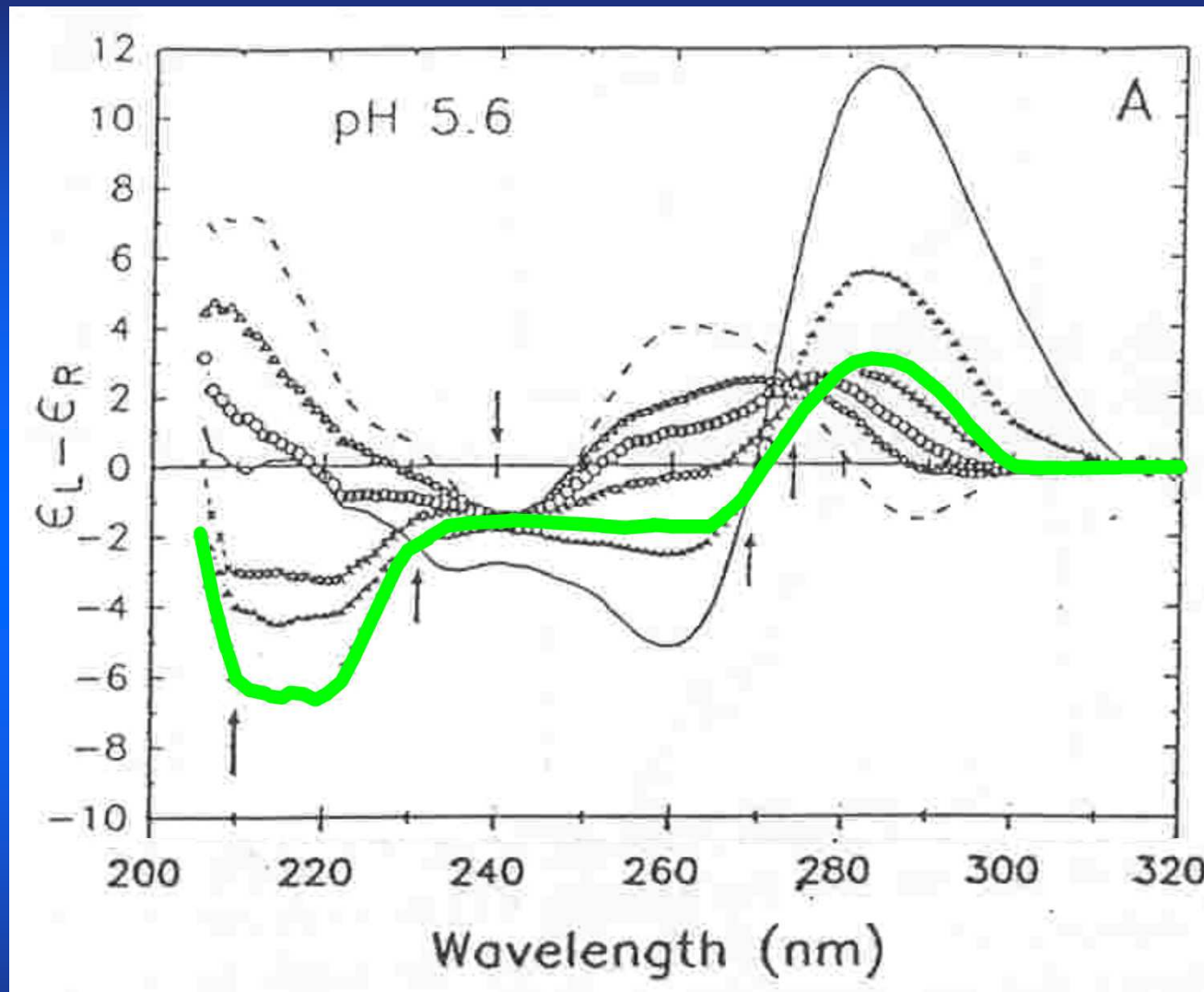
TCCTCCCTTTAGGAGGGATTTTGGTGGT



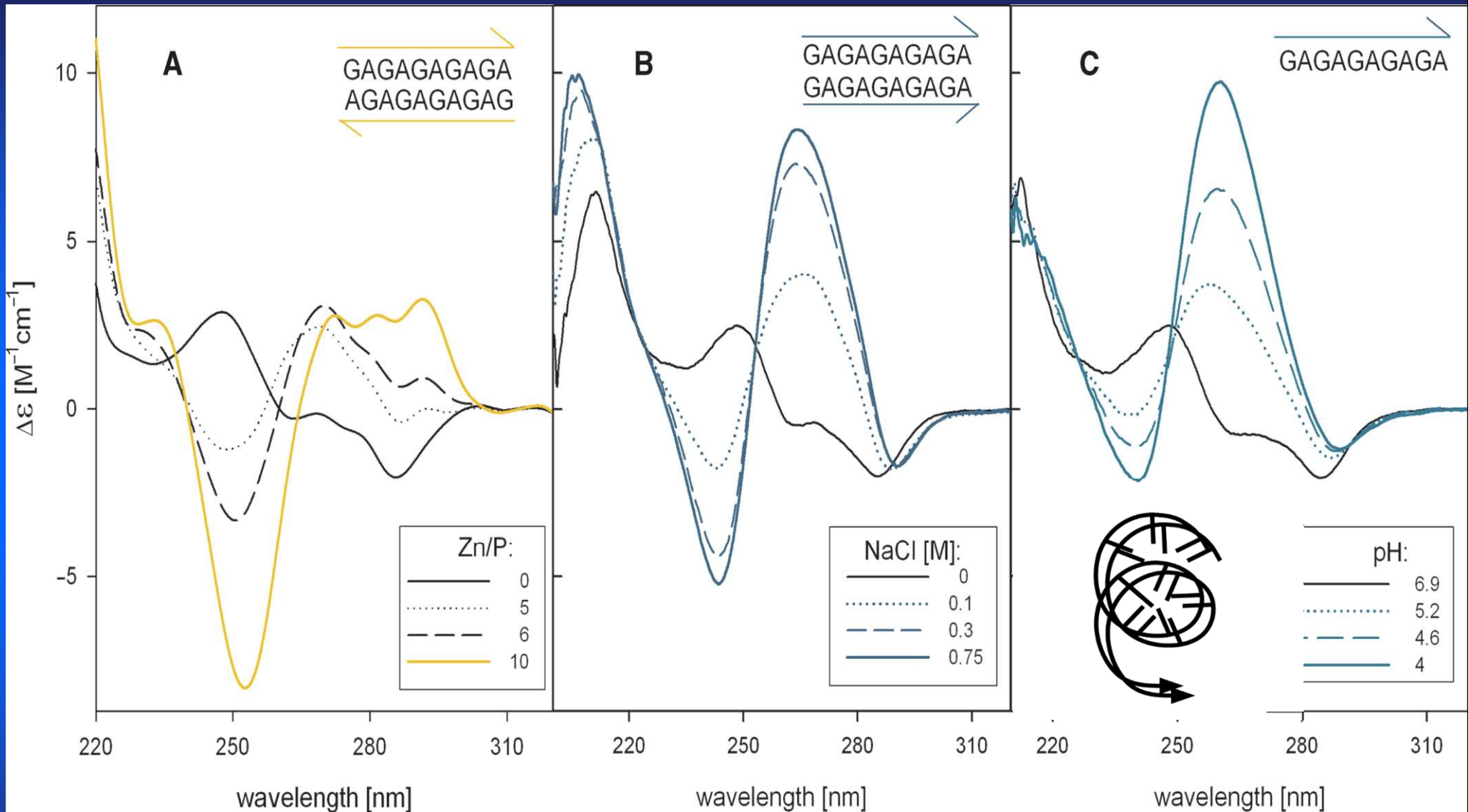
*Radhakrishnan, I., Patel, D.J. (1993)*

Pyrimidine. Purine. Purine

## The triplex formation determined by mixing curves

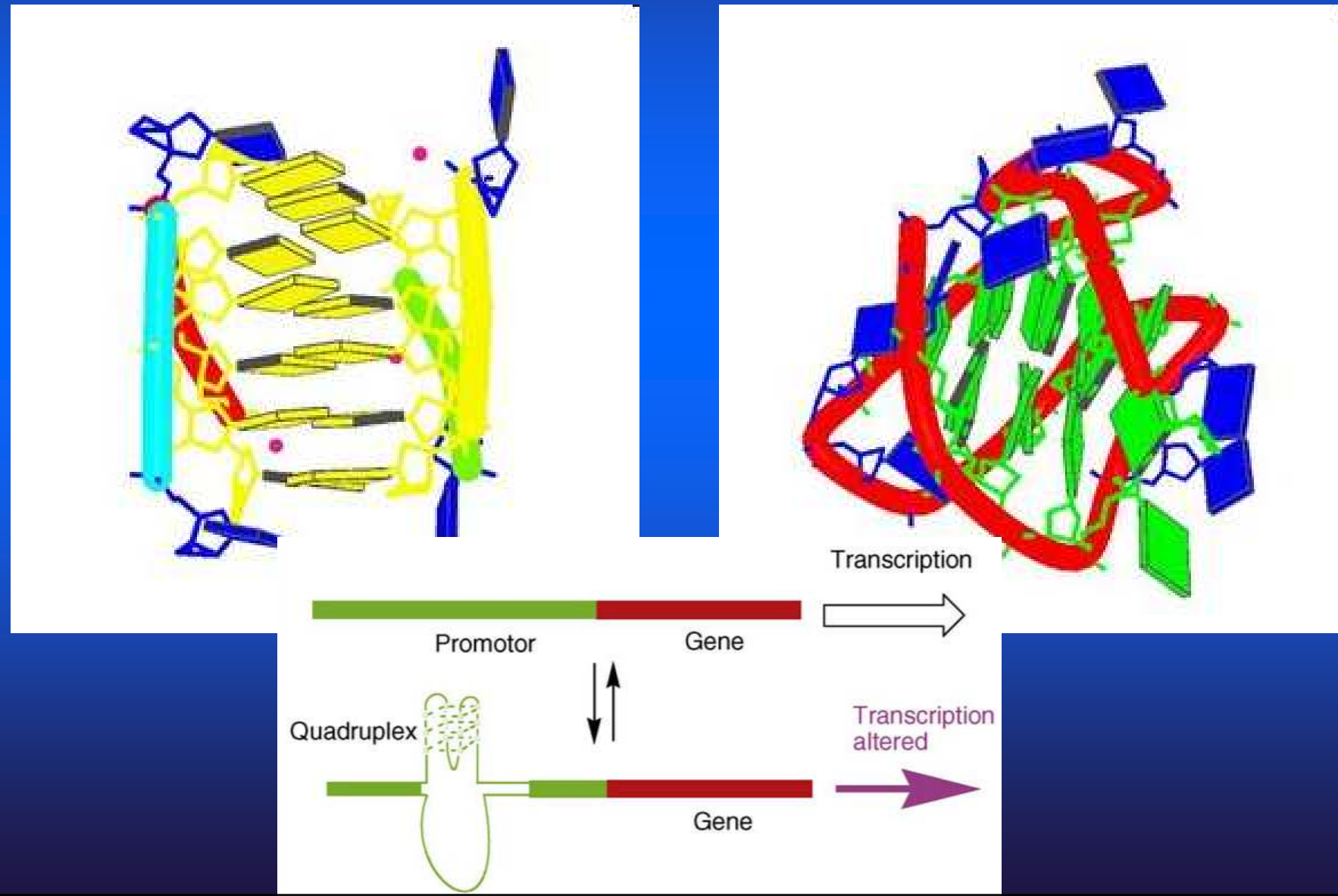


T Gray, D.M., Hung, S-H., Johnson, K.H.:  
Methods Enzymol. 246 (1995) 19-34.

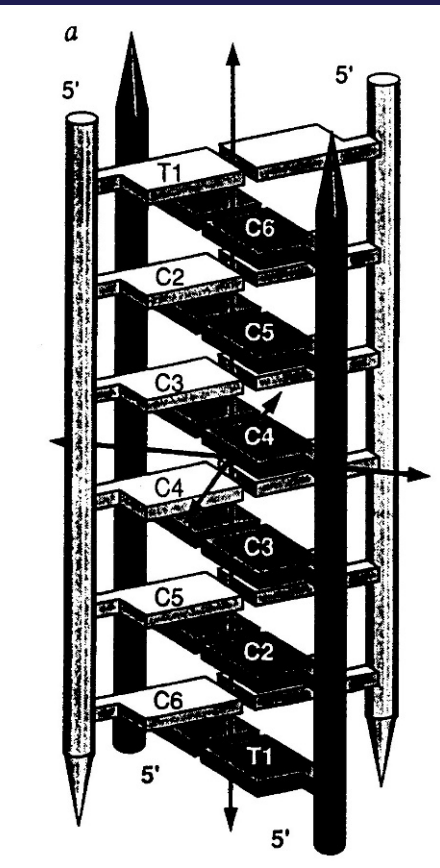


# Quadruplexes

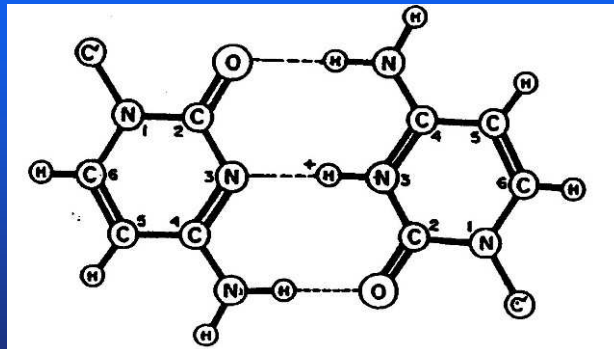
frequently occur in promoters of genes and were shown to control their expression.



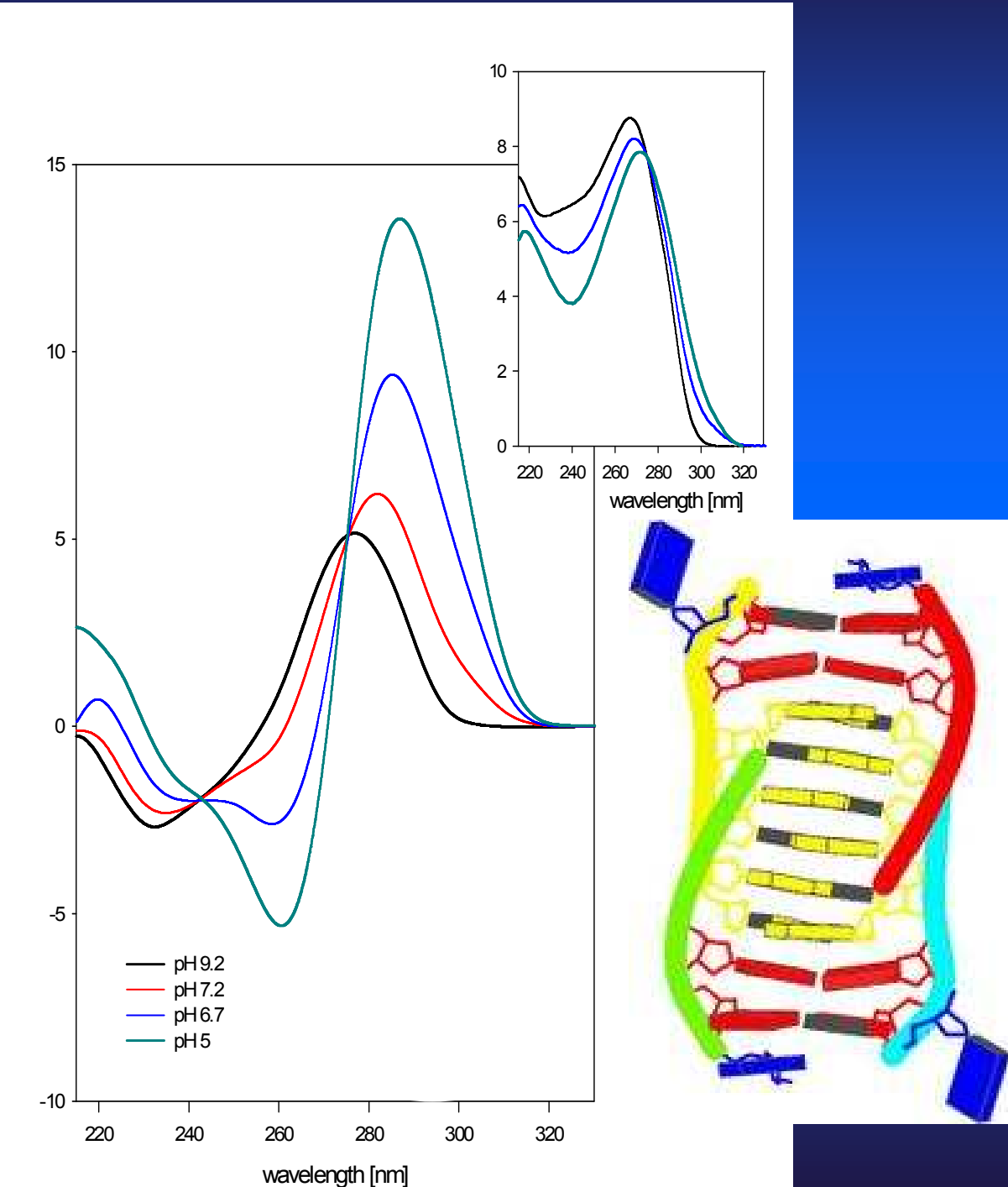
# i - tetraplex



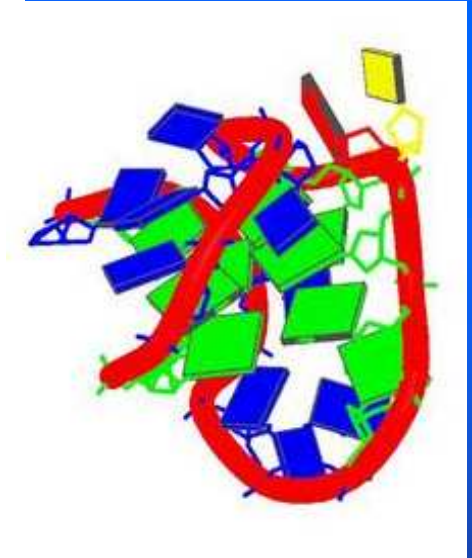
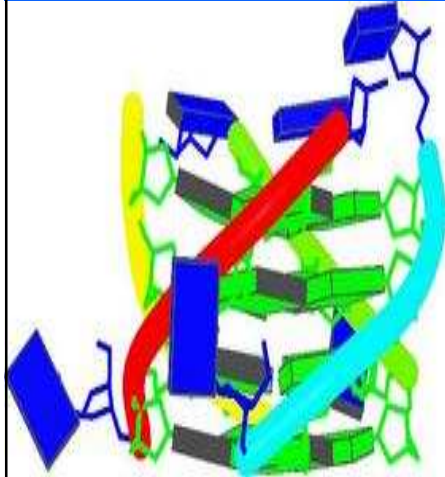
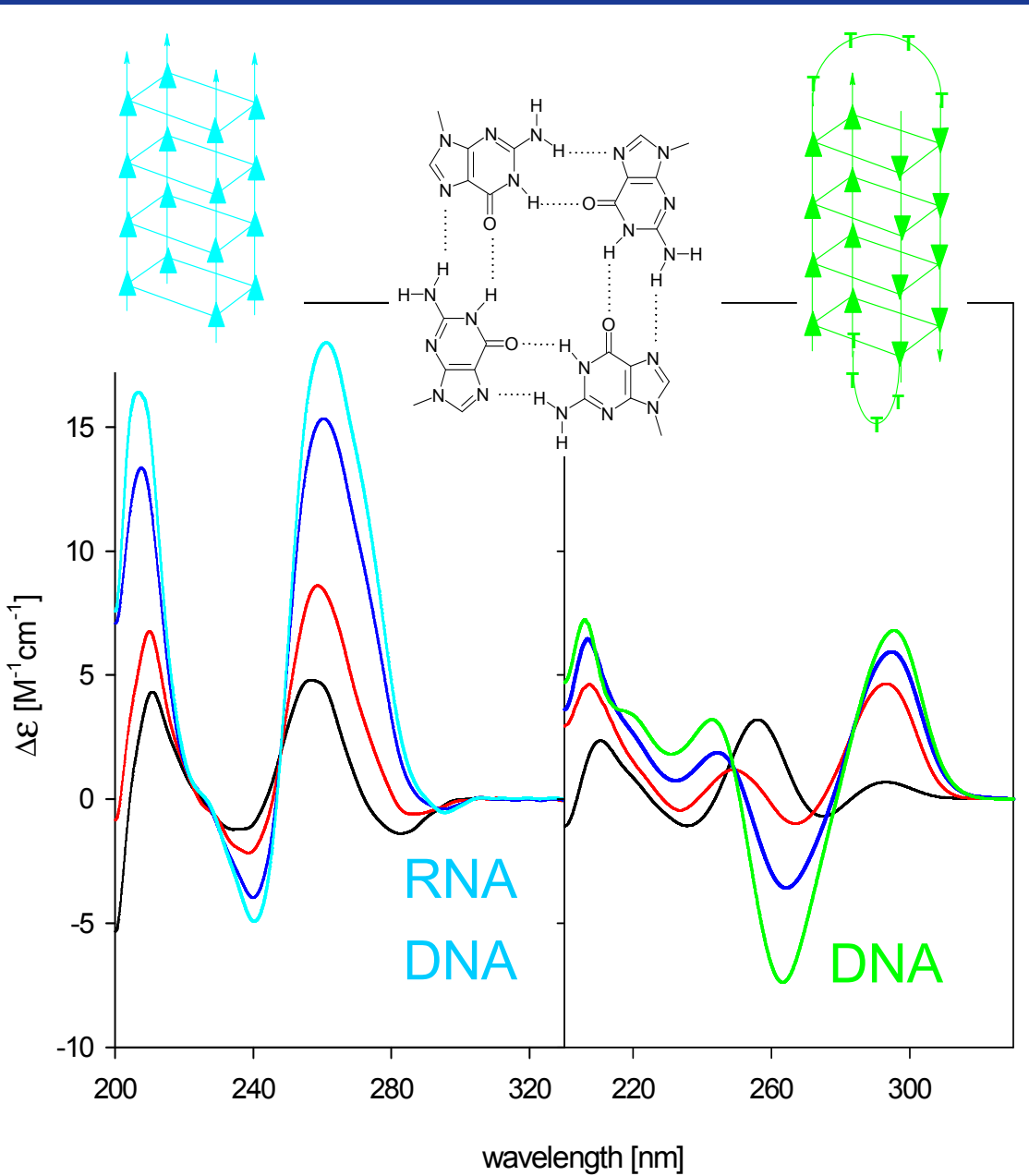
Leroy, J.L., Gueron, M., 1995



Two parallel-bonded duplexes are intercalated in the antiparallel fashion

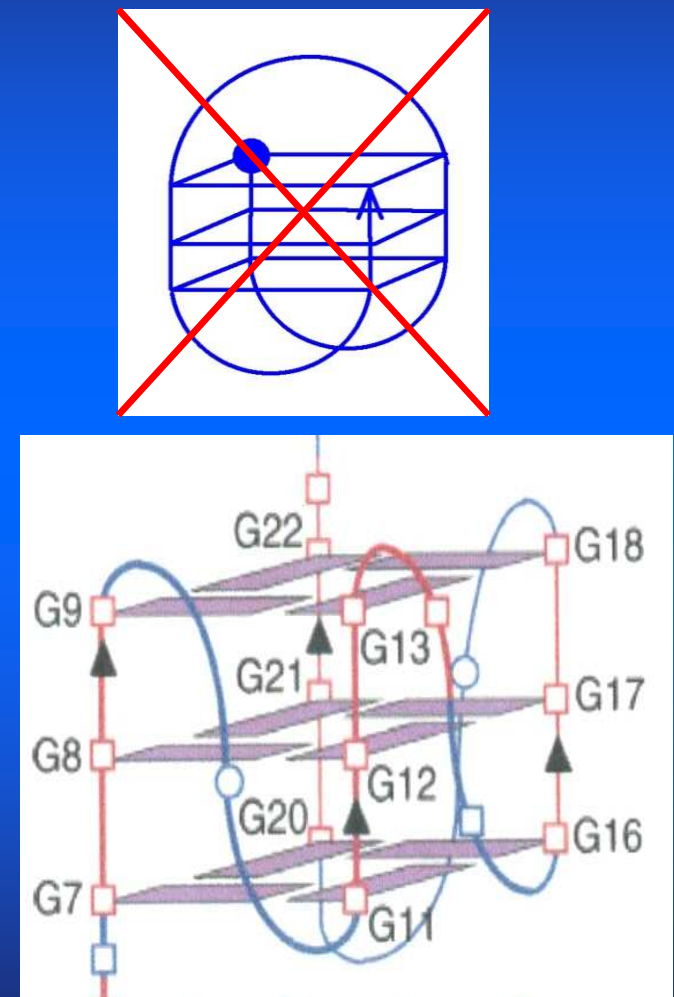
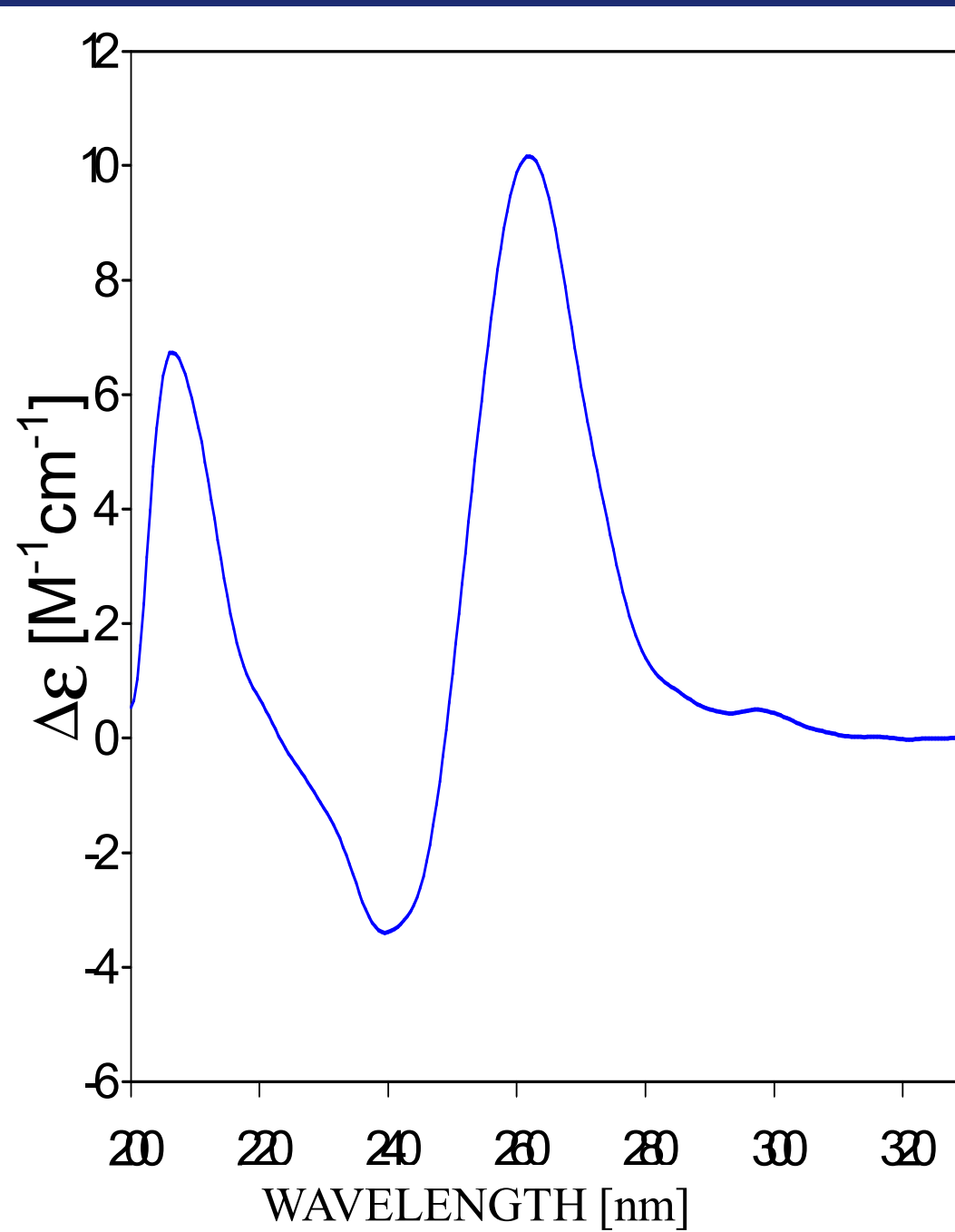


# CD spectra reflecting formation of a parallel and antiparallel guanine quadruplex

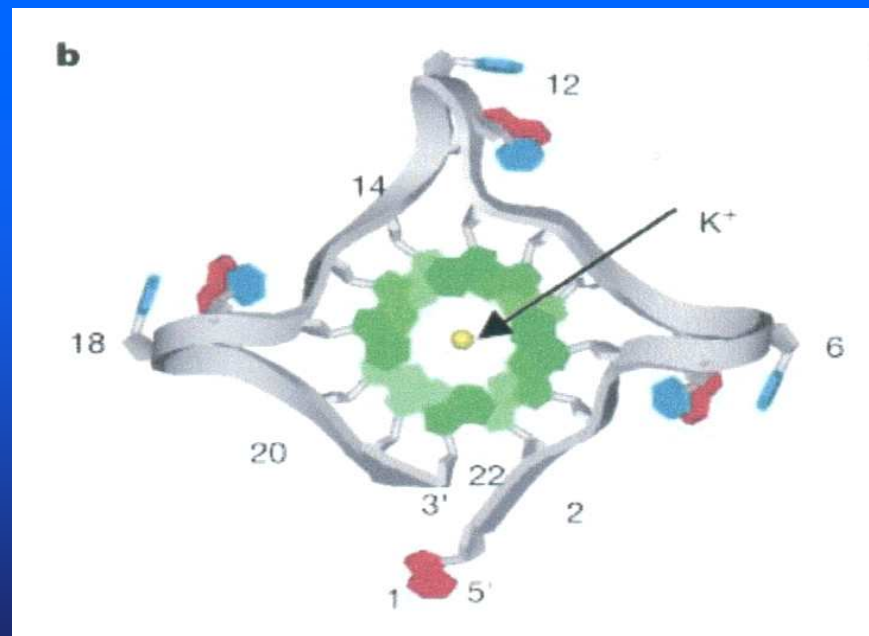
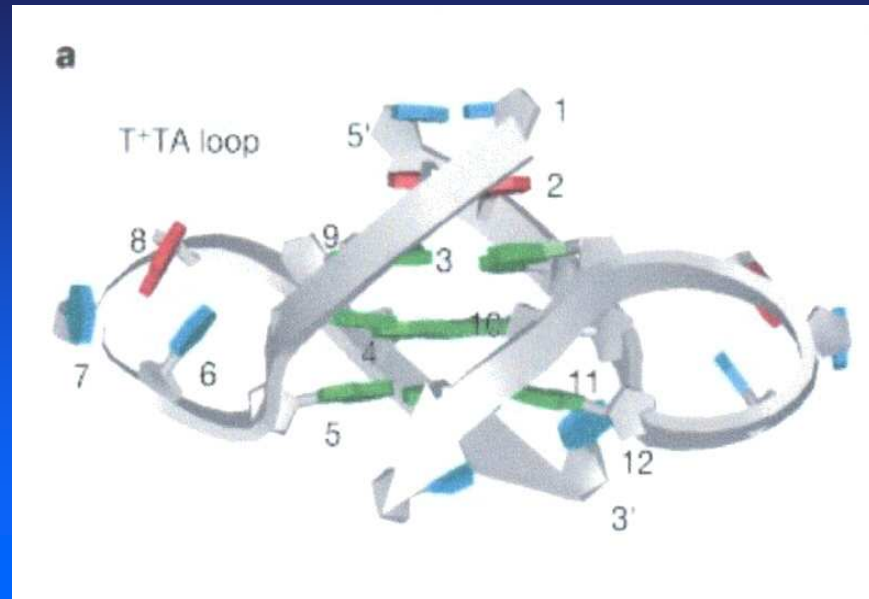
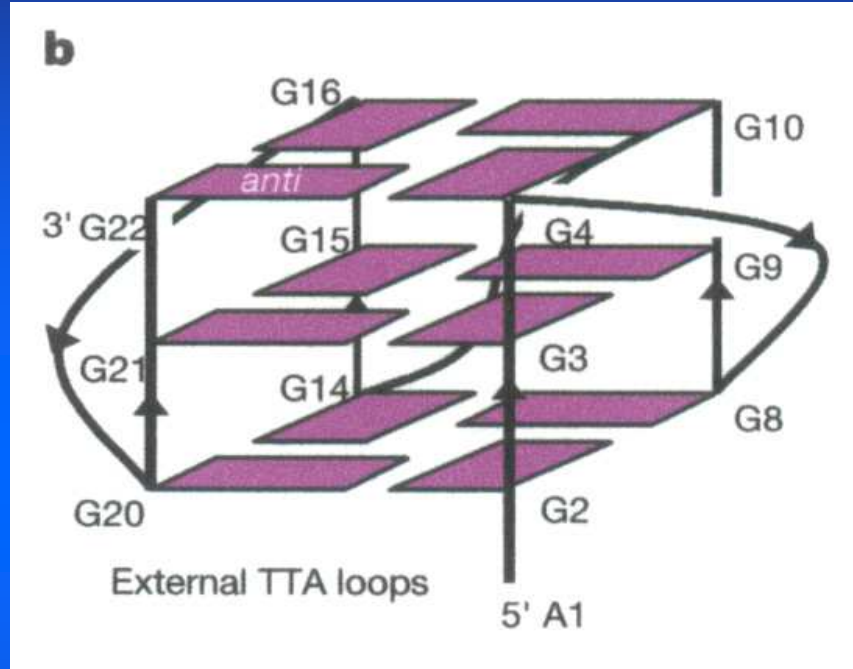


## Fragment Pu-27 promotoru c-myc:

TGGGGAGGGTGGGGAGGGTGGGAAGG

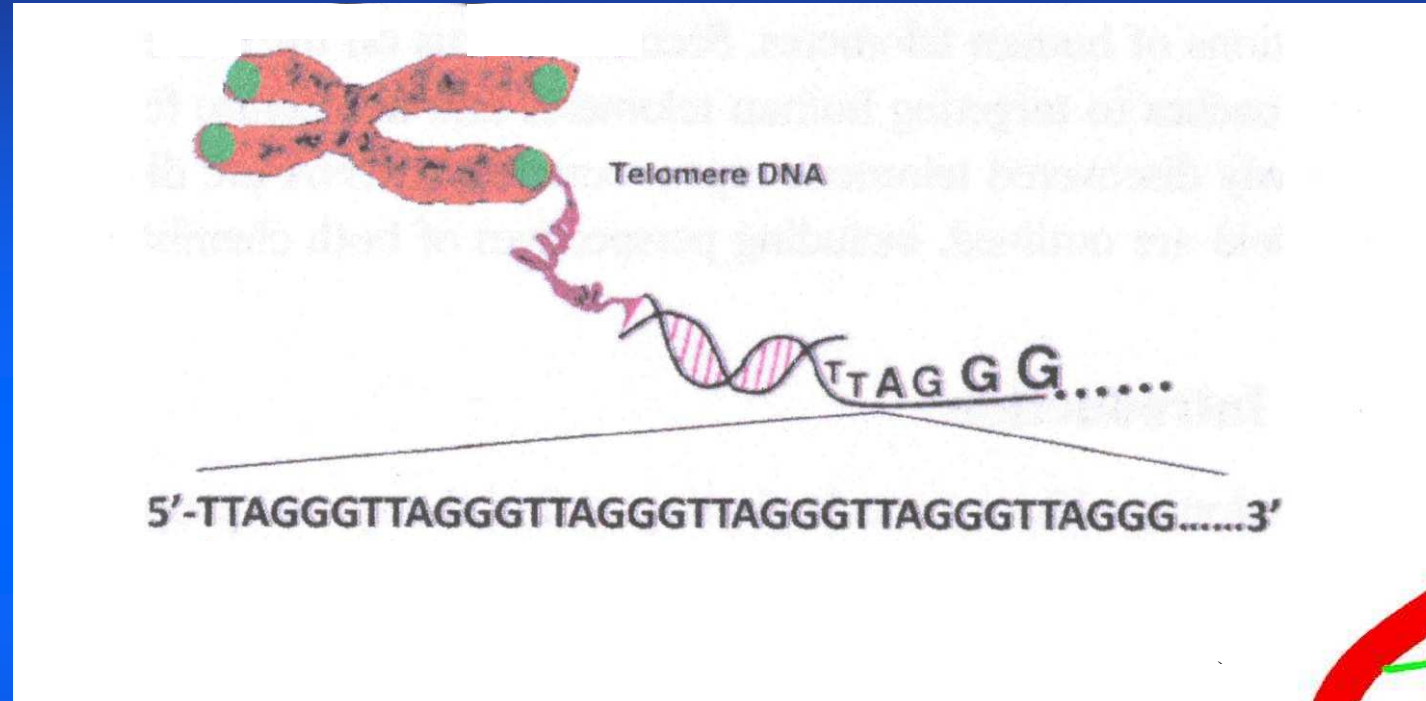


Pan, A.T. et al.:  
*J.Am.Chem.Soc.* **126**(2004)8710



Parkinson, G.N., Lee, M.P.H., Neidle, S.  
*Nature* 417 (2002) 876-880.

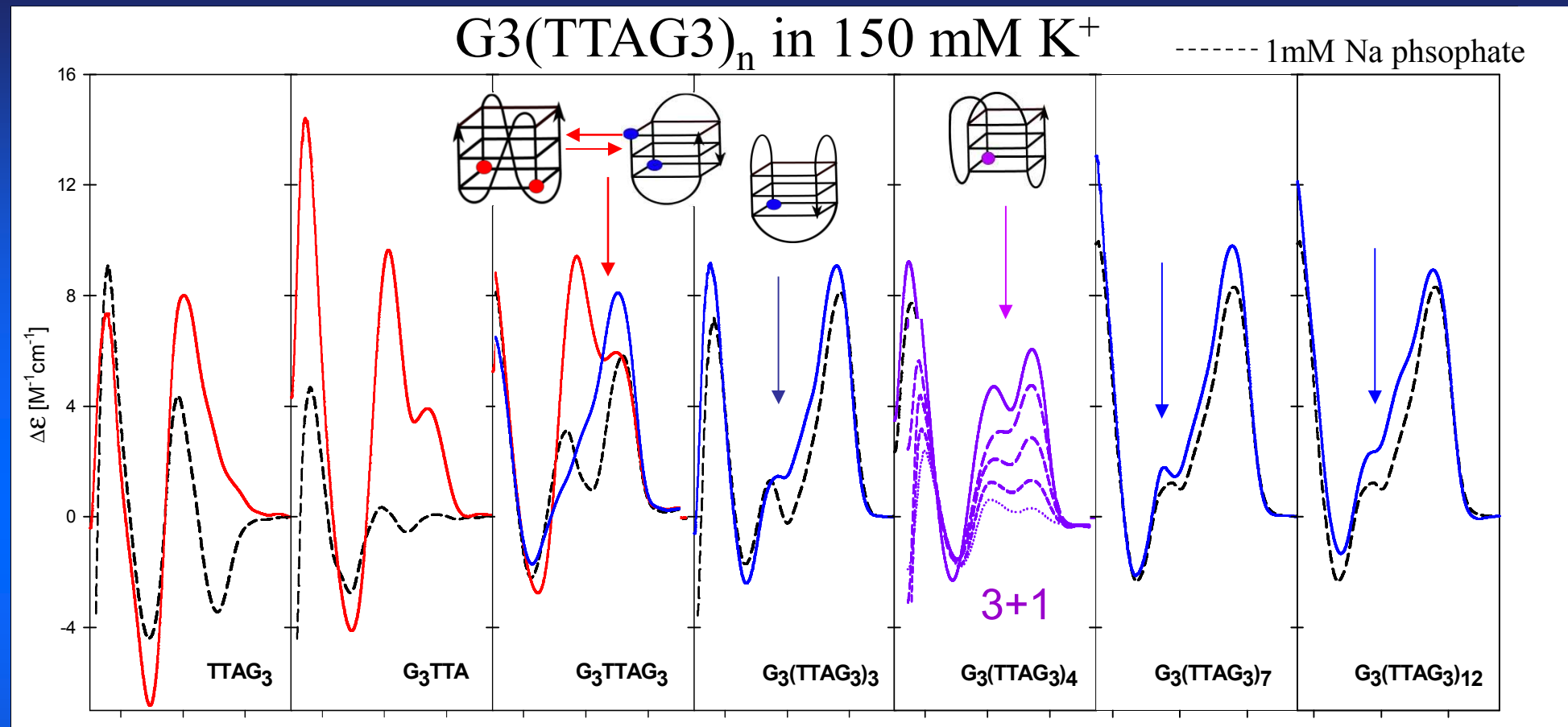
# Human telomeric DNA forms quadruplex



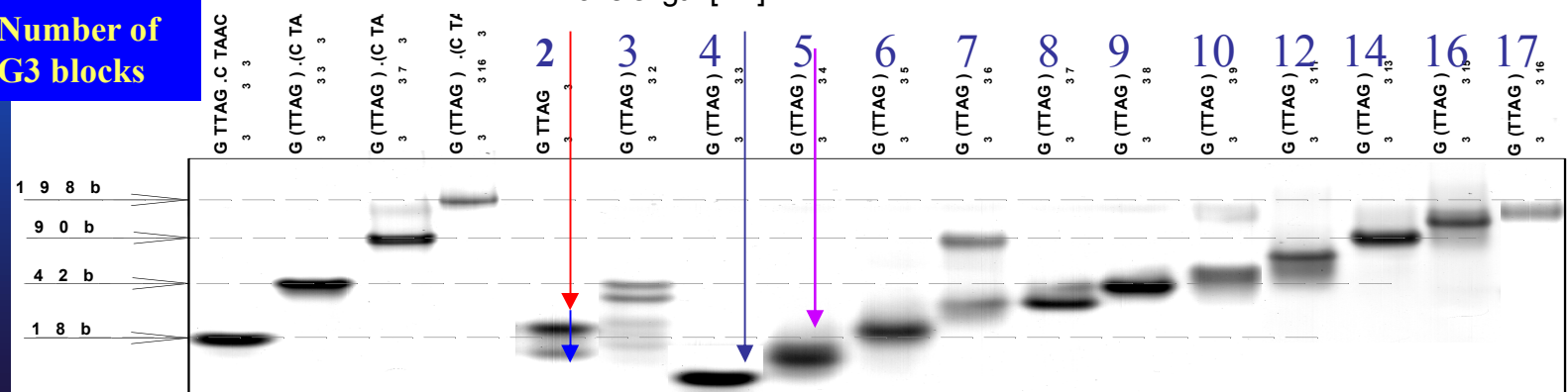
# Telomeric DNA is associated with aging

The telomere quadruplex became a target for developing anticancer drugs

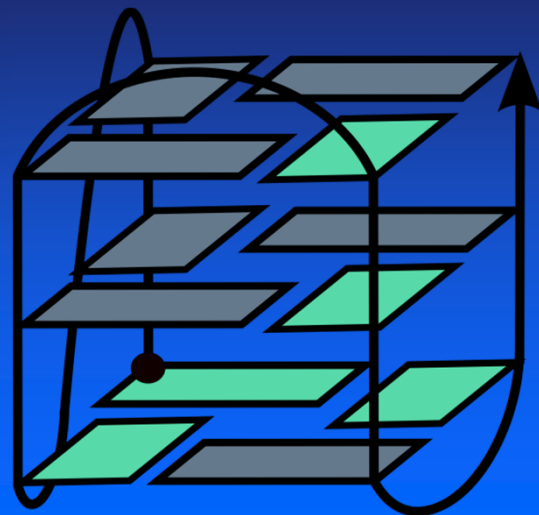




Number of  
G<sub>3</sub> blocks



3 + 1



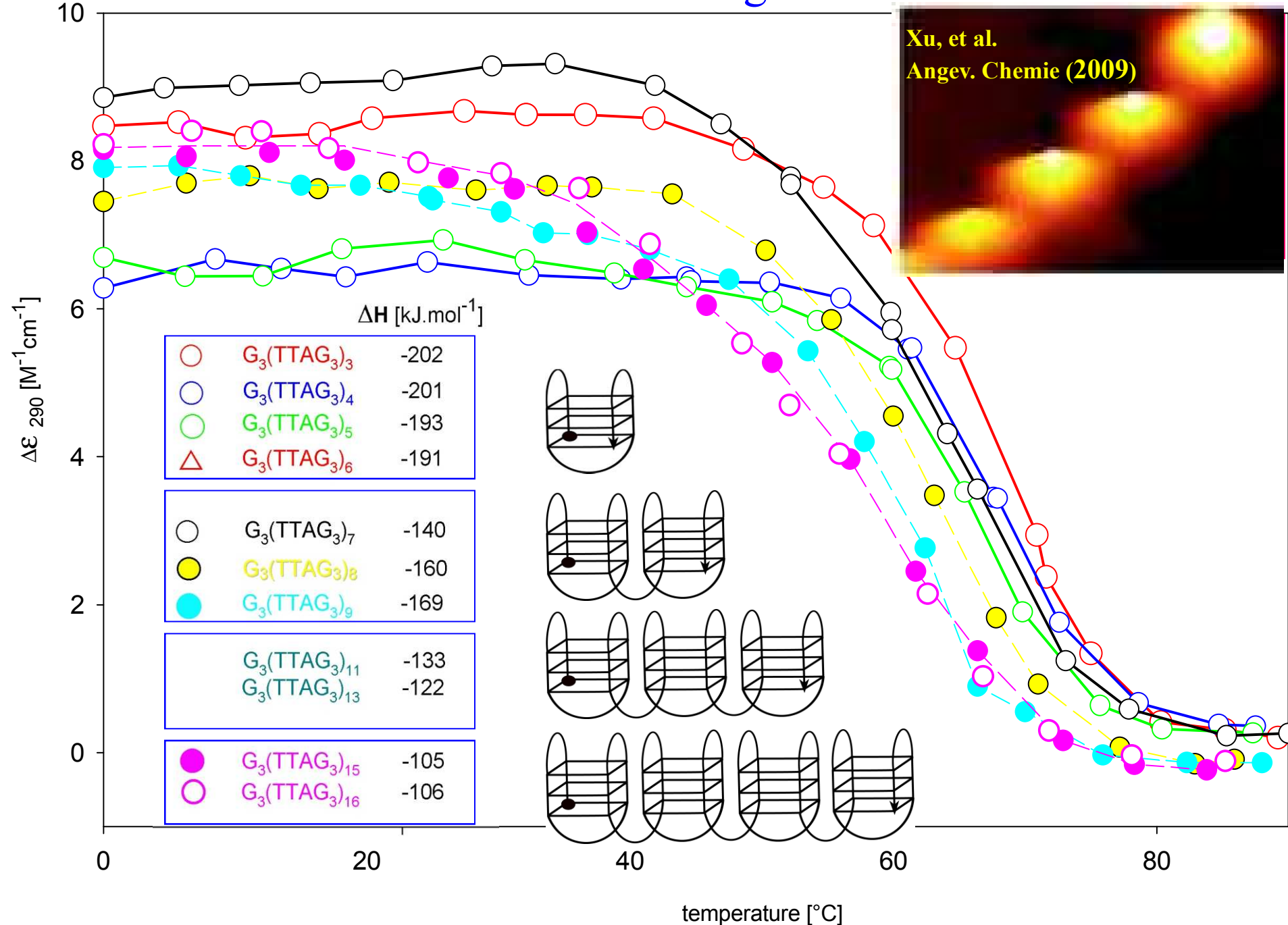
3 + 1



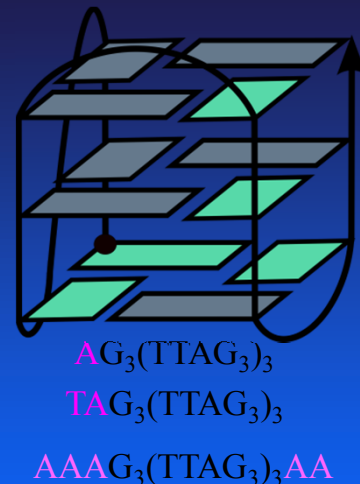
- Luu, K.N., Phan, A.T., Kuryavyi, V., Lacroix, L., Patel, D.J. (2006) J.Am.Chem.Soc., 128, 9963-9970.
- Ambrus, A., Chen, D., Dai, J., Bialis, T., Jones, R.A., Yang, D. (2006) Nucleic Acids Res. 34, 2723–2735.

- Phan, A. T., Luu, K.N., Patel, D.J. (2006) Nucleic Acids Res., 34, 5715-5719.

# How does the structure of the long telomere DNA look like?

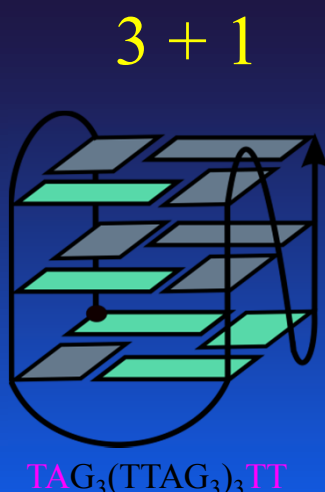
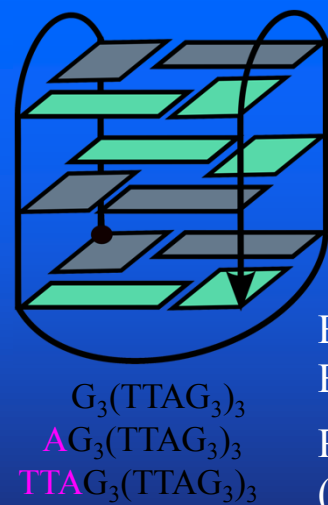


## BASKET



Luu, et al.: J.Am.Chem.Soc.,  
128 (2006) 9963-9970.

Ambrus, et al.: Nucleic Acids  
Res. 34 (2006) 2723–2735.



Phan, et al.: Nucleic  
Acids Res. 34 (2006)  
5715-5719.



Lim, et al.: J.Am.Chem.Soc.  
131 (2009) 4301–4309.



He et al.: Nucleic Acids Res. 32 (2004)  
5359-5367.

Matsugami, et al.: Nucleic acids  
symp. series, 50 (2006) 45-46.

Xu et al.: Bioorg.& Medicinal Chem.  
14 (2006) 5584 – 5591.



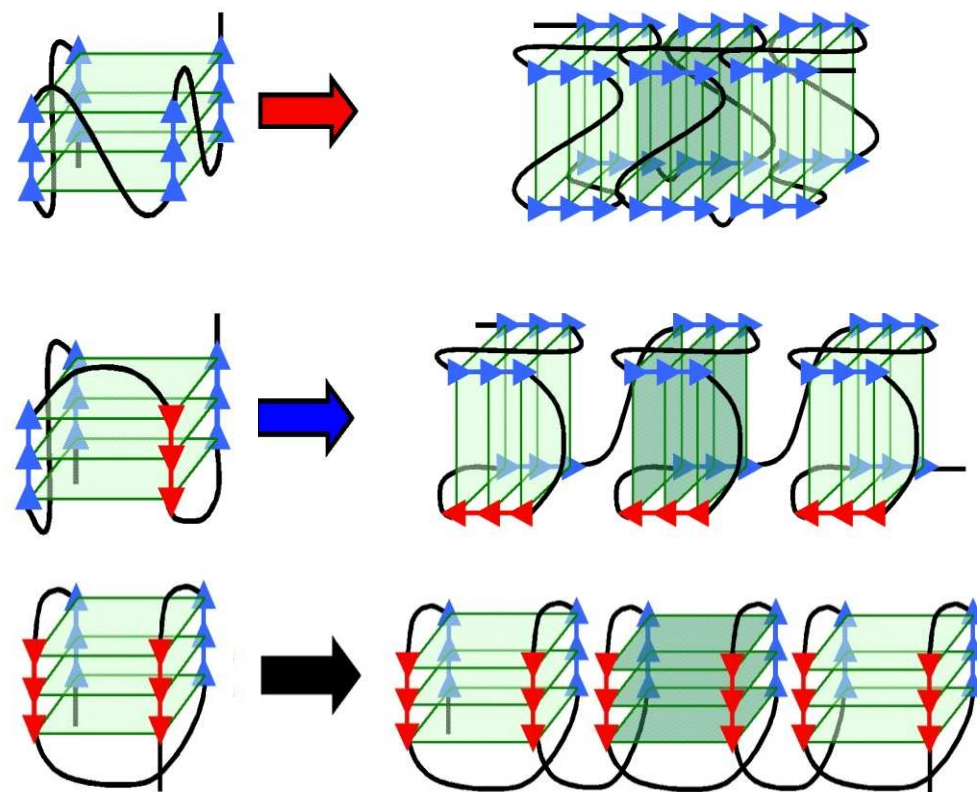
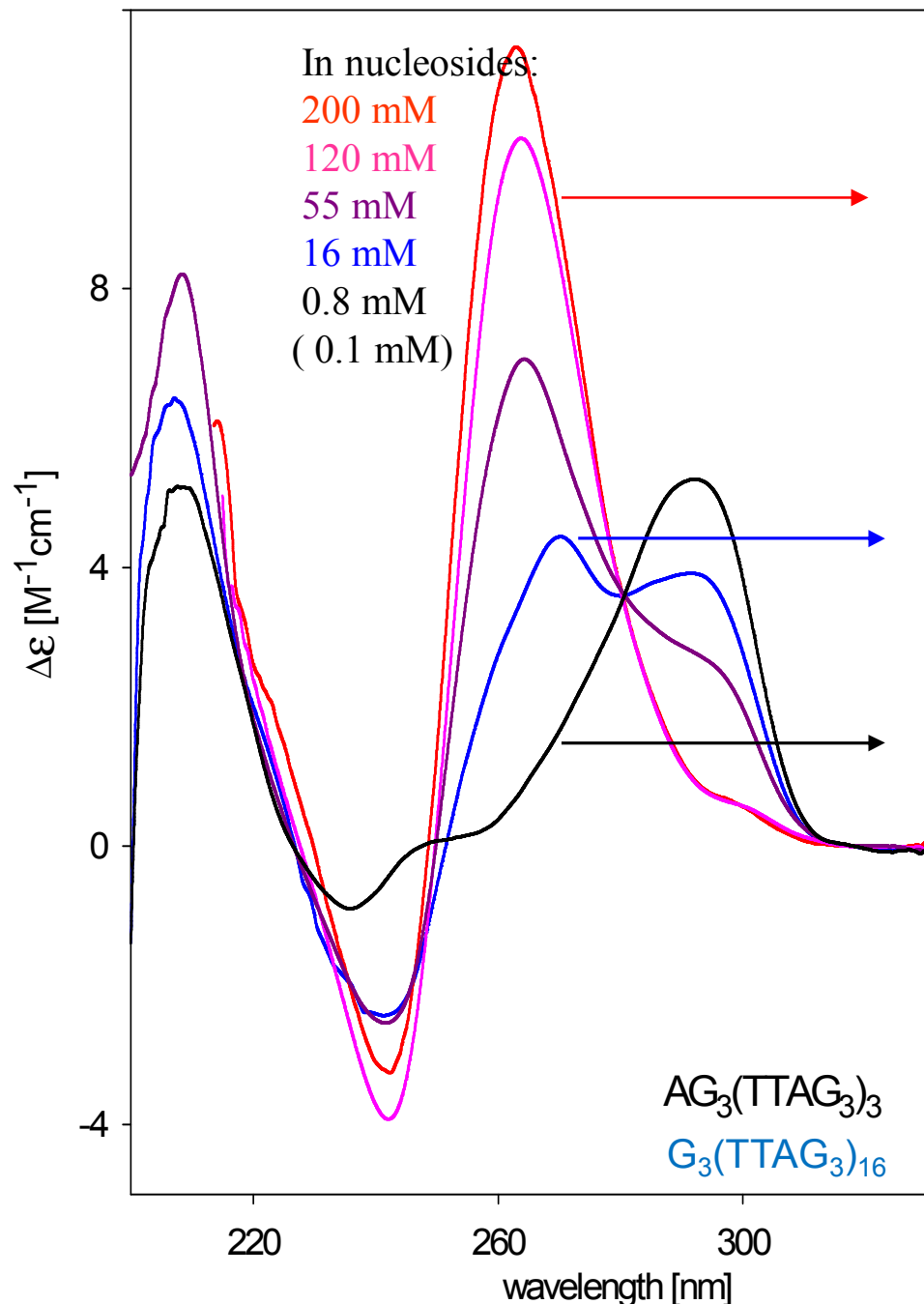
0.2-5 mM strand concentration in NMR  
3-50  $\mu\text{M}$  strand concentration in CD



Parkinson, Lee, Neidle: Nature 417 (2002) 876-880.

PARALLEL

Different quadruplex structures of human telomere DNA sequence were observed by various methods



The arrangement of the human telomere quadruplex is polymorphic and depends on DNA concentration. The particular structures may perform distinct functions.

# CHIROPTICKÉ METODY

## Optická rotační disperze-ORD

Závislost úhlu stočení roviny polarizace lineárně polarizovaného světla průchodem opticky aktivní látkou na vlnové délce procházejícího záření. (180-800 nm)

## Cirkulární dichroismus-CD

Závislost rozdílu absorpcie pro vlevo a vpravo kruhově polarizované světlo na vlnové délce absorbovaného záření v oblasti energií elektronových přechodů. (180-1000 nm)

## Infračervený cirkulární dichroismus-IRCD (VCD)

Závislost rozdílu absorpcie pro vlevo a vpravo kruhově polarizované světlo na vlnové délce absorbovaného záření v oblasti energií vibračních přechodů. (1-5 um)

## Fluorescenčně detegovaný cirkulární dichroismus-FDCD

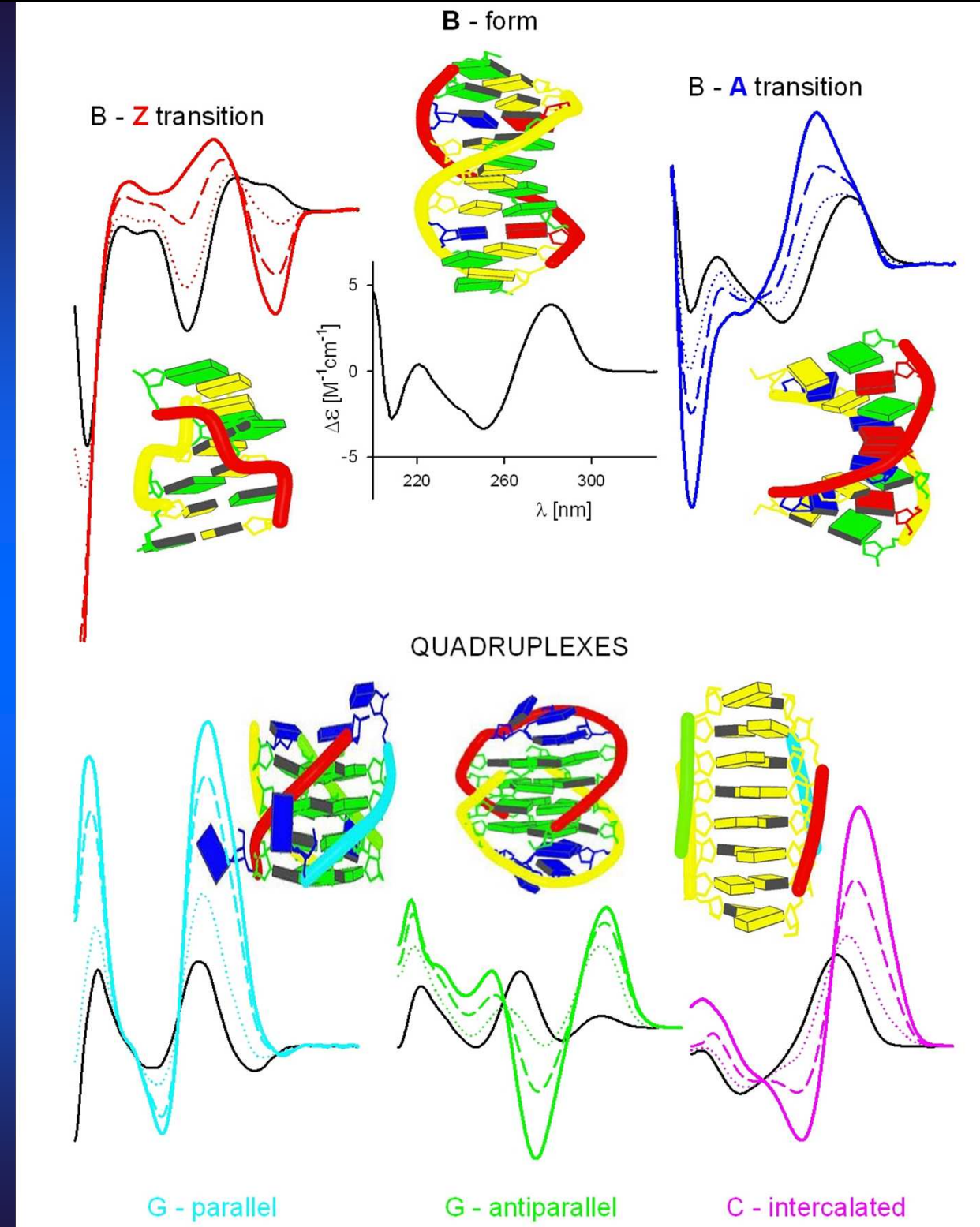
Závislost rozdílu intenzity fluorescence, excitované vlevo a vpravo kruhově polarizovaným světlem na vlnové délce excitačního záření. (~ 200 nm až vlnová délka emise)

## Cirkulárně polarizovaná luminiscence (emise)-CPL (CPE)

Spektrální průběh rozdílu intenzit (spontánní) emise vlevo a vpravo cirkulárně polarizovaného světla. (Interval vlnových délek emise chromoforu)

## Cirkulární diferenciální Ramanův rozptyl-Raman CID

Spektrální průběh rozdílů intenzit Ramanova rozptylu vlevo a vpravo kruhově polarizovaného dopadajícího záření. (Interval vlnových délek Ramanova jevu)



Kejnovska, I.,  
Renciuk, D.,  
Vorlickova, M.:  
Nucleic Acids  
Res. **37** (2009)  
1713-1725.

# Laboratory of the CD spectroscopy of Nucleic Acids

Jaroslav Kypr  
Iva Kejnovská  
Jana Chládková  
Petr Fojtík  
Daniel Renčíuk  
Klára Bednářová  
Martin Tomaško  
Petra Školáková  
Helena Kašparová  
Zuzana Dvořáková

